

**SINTESIS SENYAWA AURIVILLIUS BaBi₄Ti₄O₁₅ TERDOPING
VANADIUM DENGAN METODE LELEHAN GARAM**

SKRIPSI

Oleh:
SUCI NOERFAIQOTUL HIMMAH
NIM. 17630050



**PROGRAM STUDI KIMIA
FAKULTAS SAINS DAN TEKNOLOGI
UNIVERSITAS ISLAM NEGERI MAULANA MALIK IBRAHIM
MALANG
2021**

**SINTESIS SENYAWA AURIVILLIUS BaBi₄Ti₄O₁₅ TERDOPING
VANADIUM DENGAN METODE LELEHAN GARAM**

SKRIPSI

Oleh:
SUCI NOERFAIQOTUL HIMMAH
NIM. 17630050

**Diajukan Kepada:
Fakultas Sains dan Teknologi
Universitas Islam Negeri Maulana Malik Ibrahim Malang
Untuk Memenuhi Salah Satu Persyaratan dalam
Memperoleh Gelar Sarjana Sains (S.Si)**

**PROGRAM STUDI KIMIA
FAKULTAS SAINS DAN TEKNOLOGI
UNIVERSITAS ISLAM NEGERI MAULANA MALIK IBRAHIM
MALANG
2021**

**SINTESIS SENYAWA AURIVILLIUS BaBi₄Ti₄O₁₅ TERDOPING
VANADIUM DENGAN METODE LELEHAN GARAM**

SKRIPSI

Oleh:
SUCI NOERFAIQOTUL HIMMAH
NIM. 17630050

Telah Diperiksa dan Disetujui oleh:

Pembimbing I



Dr. Anton Prasetyo, M.Si
NIP. 19770925 200604 1 003

Pembimbing II



Rif'atul Mahmudah, M.Si
NIDT. 19830125 20160801 2 068

Mengetahui

Ketua Program Studi,



Rachmawati Ning Ningsih, M.Si
NIP. 19810811 200801 2 010

**SINTESIS SENYAWA AURIVILLIUS BaBi₄Ti₄O₁₅ TERDOPING
VANADIUM DENGAN METODE LELEHAN GARAM**

SKRIPSI

**Oleh:
SUCI NOERFAIQOTUL HIMMAH
NIM. 17630050**

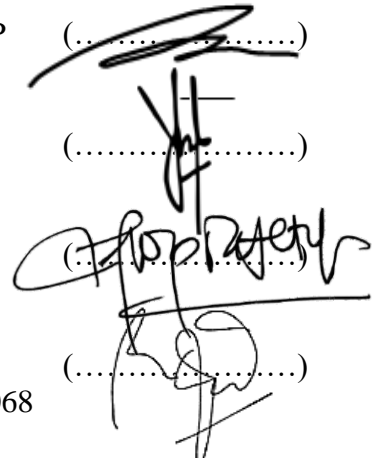
Telah Dipertahankan di Depan Dewan Pengaji Skripsi
Dan Dinyatakan Diterima sebagai Salah Satu Persyaratan
Untuk Memperoleh Gelar Sarjana Sains (S.Si)
Tanggal: 20 Desember 2021

Pengaji Utama : Dr. Akyunul Jannah, M.Si, M.P
NIP. 19750410 200501 2 009

Ketua Pengaji : Eny Yulianti, M.Si
NIP. 19760611200501 2 006

Sekretaris Pengaji : Dr. Anton Prasetyo, M.Si
NIP. 19770925 200604 1 003

Anggota Pengaji : Rif'atul Mahmudah, M.Si
NIDT. 19830125 20160801 2 068



Mengesahkan,
Ketua Program Studi Kimia
Fakultas Sains dan Teknologi
Universitas Islam Negeri Maulana Malik Ibrahim Malang



PERNYATAAN KEASLIAN TULISAN

Saya yang bertanda tangan di bawah ini:

Nama : Suci Noerfaiqotul Himmah
NIM : 17630050
Program Studi : Kimia
Fakultas : Sains dan Teknologi
Judul : Sintesis Senyawa Aurivillius BaBi₄Ti₄O₁₅ Terdoping Vanadium dengan Metode Lelehan Garam

Menyatakan dengan sebenarnya bahwa Skripsi yang saya tulis ini benar-benar hasil karya saya sendiri, bukan merupakan pengambil alihan data, tulisan, atau pikiran orang lain yang saya akui sebagai tulisan atau pikiran saya sendiri, kecuali dengan mencantumkan sumber cuplikan pada daftar pustaka. Apabila di kemudian hari terbukti atau dapat dibuktikan Skripsi ini hasil juplikan, maka saya bersedia menerima sanksi atas perbuatan tersebut.

Yang membuat pernyataan
Malang, 21 Desember 2021



Suci Noerfaiqotul Himmah
NIM. 17630050

HALAMAN PERSEMBAHAN

Alhamdulillah, sujud syukur hamba persembahkan kepadaMu Ya Allah atas tuntasnya penyusunan Skripsi ini. Terimakasih atas ilmu dan pikiran yang telah Engkau karuniakan. Semoga hamba selalu menjadi pribadi yang selalu beriman kepadaMu dan menjadikan titik ini sebagai awal kesuksesan diri dalam meraih RidloMu.

Dengan ini penulis persembahkan karya tulis ini untuk, Kedua orang tua Ach. Effendi dan Muhairoh. Terimakasih telah menjadi alasan utama penulis sampai pada titik ini. Terimakasih atas limpahan do'a dan perhatian yang tidak pernah usai. Begitu juga untuk adik-adik penulis, Muhammad Roghil Affan Romadani dan Qatrina Balqis Salwa Salsabila yang telah menjadi alasan penulis menjadi pribadi yang lebih kuat, dan tak lupa "*I will thank to myself to always give your best to be a better person, always try to answer your curiosities, and still survive until this time*".

Terimakasih yang tak terhingga kepada Bapak Dr. Anton Prasetyo, M.Si dan Ibu Rif'atul Mahmudah, M.Si yang senantiasa sabar dalam meluangkan waktunya untuk membimbing penulis, baik dalam penyusunan karya tulis maupun dalam membentuk pribadi yang lebih baik. Terimakasih juga kepada seluruh Dosen yang telah mencerahkan ilmunya, serta seluruh laboran dan staf Program Studi Kimia yang telah mendukung keberhasilan penelitian ini.

Terimakasih kepada sahabat-sahabat penulis, Alivia Husin dan Nuriyah Sulkha yang selalu menjadi pendengar baik dan tempat berbagi di saat kehidupan tak selalu dalam kata indah. Begitu juga teman-teman "Cendaw" atas kebersamaan dan ketidakjelasan yang akan penulis jadikan sebagai memori yang tak terlupakan.

Teruntuk teman-teman seperjuangan Kimia B 2017, terutama Puspa Sari.
Terimakasih atas kebersamaan dalam perjuangan yang tidak ada habisnya dan
cerita-cerita yang menarik yang telah diberikan.

MOTTO

DON'T FEAR OF PERFECTION; YOU WILL NEVER REACH IT

(Success is struggling)

-Marie Curie

KATA PENGANTAR

Syukur alhamdulillah atas kehadirat Allah SWT yang telah melimpahkan rahmat, taufiq, hidayah dan inayah-Nya sehingga penulis dapat menyelesaikan Skripsi ini. Shalawat dan salam penulis haturkan kepada Nabi Muhammad SAW yang selalu menyebarluaskan dan mengembangkan ajaran Islam kepada umatnya.

Selanjutnya, penulis ingin menyampaikan rasa terima kasih yang tak terhingga kepada semua pihak yang telah membantu kelancaran penyusunan Skripsi ini, baik berupa dorongan moril maupun materiil. Penulis yakin tanpa bantuan dan dukungan tersebut, sulit rasanya bagi penulis untuk menyelesaikan Skripsi ini. Dengan ini, penulis ingin menyampaikan ucapan terimakasih dan penghargaan setinggi-tingginya kepada:

1. Kedua orang tua penulis tercinta serta keluarga yang telah memberikan dukungan moral, berupa do'a, dan nasihat sehingga penyusunan Skripsi ini dapat terselesaikan.
2. Prof. Dr. H. M. Zainuddin, MA, selaku Rektor Universitas Islam Negeri Maulana Malik Ibrahim Malang.
3. Dr. Sri Harini, M.Si, selaku Dekan Fakultas Sains dan Teknologi Universitas Islam Negeri Maulana Malik Ibrahim Malang.
4. Rachmawati Ningsih, M.Si, selaku Ketua Program Studi Kimia Fakultas Sains dan Teknologi Universitas Islam Negeri Maulana Malik Ibrahim Malang.
5. Dr. Anton Prasetyo, M.Si, selaku Dosen pembimbing I. Karena atas bimbingan, pengarahan, kesabaran, dan motivasinya penyusunan Skripsi ini dapat terselesaikan.

6. Rif'atul Mahmudah, M.Si, selaku Dosen pembimbing II yang telah sabar dalam membantu dan membimbing penyusunan Skripsi ini.
7. Segenap sivitas akademika Program Studi Kimia Universitas Islam Negeri Maulana Malik Ibrahim Malang.
8. Teman-teman Program Studi Kimia dan semua pihak yang ikut membantu dalam menyelesaikan Skripsi ini baik berupa materiil maupun moril.

Sebagai seorang manusia dengan keterbatasan ilmu pengetahuan yang dikuasai, penulis menyadari bahwa dalam penulisan Skripsi ini masih sangat jauh dari kata sempurna sehingga membutuhkan kritik, saran, dan bimbingan yang bersifat membangun.

Akhir kata penulis berharap semoga Skripsi ini dapat bermanfaat khususnya bagi penulis sendiri maupun pembaca. Terima kasih.

Malang, 21 Desember 2021

Penulis

DAFTAR ISI

| | |
|--|--------------|
| HALAMAN JUDUL | i |
| HALAMAN PERSETUJUAN | ii |
| HALAMAN PENGESAHAN | iii |
| PERNYATAAN KEASLIAN TULISAN | iv |
| HALAMAN PERSEMBAHAN | v |
| MOTTO | vii |
| KATA PENGANTAR | viii |
| DATAR ISI | x |
| DAFTAR LAMPIRAN | xii |
| DAFTAR GAMBAR | xiii |
| DAFTAR TABEL | xv |
| ABSTRAK | xvi |
| ABSTRACT..... | xvii |
| مستخلص البحث | xviii |

BAB I PENDAHULUAN

| | |
|------------------------------|---|
| 1.1 Latar Belakang | 1 |
| 1.2 Rumusan Masalah | 7 |
| 1.3 Tujuan Penelitian | 7 |
| 1.4 Batasan Masalah | 7 |
| 1.5 Manfaat Penelitian | 7 |

BAB II TINJAUAN PUSTAKA

| | |
|---|----|
| 2.1 Struktur Aurivillius Lapis Empat ($BaBi_4Ti_4O_{15}$) | 8 |
| 2.2 Senyawa $BaBi_4Ti_4O_{15}$ (BBT) sebagai Fotokatalis | 9 |
| 2.3 Pendopingan Logam pada Senyawa Fotokatalis Aurivillius | 11 |
| 2.4 Pengaruh Morfologi pada Aktivitas Fotokatalitik | 14 |
| 2.5 Metode Sintesis Lelehan Garam | 18 |
| 2.6 Sintesis Senyawa Aurivillius $BaBi_4Ti_4O_{15}$ (BBT) dengan Metode Lelehan Garam | 21 |

BAB III METODE PENELITIAN

| | |
|--|----|
| 3.1 Waktu dan Tempat Penelitian | 25 |
| 3.2 Alat dan Bahan | 25 |
| 3.2.1 Alat | 25 |
| 3.2.2 Bahan..... | 25 |
| 3.3 Tahapan Penelitian | 26 |
| 3.4 Prosedur Kerja | 26 |
| 3.4.1 Preparasi Bahan | 26 |
| 3.4.2 Sintesis $BaBi_4Ti_{4-x}V_xO_{15}$ dengan Metode Lelehan Garam | 27 |

| | |
|--|----|
| 3.4.3 Karakterisasi Sampel Produk BaBi ₄ Ti _{4-x} V _x O ₁₅ | 27 |
| a. Karakterisasi dan Analisis dengan Teknik XRD | 27 |
| b. Karakterisasi dan Analisis dengan Teknik SEM-EDS | 28 |
| c. Karakterisasi dan Analisis dengan Teknik UV-Vis DRS | 28 |
| 3.4.4 Analisis Data | 28 |
| a. Analisis Data XRD | 28 |
| b. Analisis Data SEM-EDS | 28 |
| c. Analisis Data UV-Vis DRS..... | 28 |

BAB IV PEMBAHASAN

| | |
|---|----|
| 4.1 Sintesis Senyawa BaBi ₄ Ti _{4-x} V _x O ₁₅ ($x= 0; 0,05; 0,1; 0,15$) dengan Metode Lelehan Garam | 30 |
| 4.2 Karakterisasi dan Analisis Sampel BaBi ₄ Ti _{4-x} V _x O ₁₅ ($x= 0; 0,05; 0,1; 0,15$) dengan Teknik XRD | 32 |
| 4.3 Karakterisasi dan Analisis Sampel BaBi ₄ Ti _{4-x} V _x O ₁₅ ($x= 0; 0,05; 0,1; 0,15$) dengan Teknik SEM | 35 |
| 4.4 Karakterisasi dan Analisis Sampel BaBi ₄ Ti _{4-x} V _x O ₁₅ ($x= 0; 0,05; 0,1; 0,15$) dengan Teknik UV-Vis DRS | 39 |
| 4.5 Sintesis Material Fotokatalis BaBi ₄ Ti _{4-x} V _x O ₁₅ ($x= 0; 0,05; 0,1; 0,15$) dalam Prespektif Islam | 44 |

BAB V PENUTUP

| | |
|----------------------|----|
| 5.1 Kesimpulan | 48 |
| 5.2 Saran | 48 |

| | |
|-----------------------------|-----------|
| DAFTAR PUSTAKA | 49 |
| LAMPIRAN | 59 |

DAFTAR LAMPIRAN

| | |
|--|----|
| Lampiran 1. Diagram Alir | 59 |
| Lampiran 2. Perhitungan Preparasi Bahan | 62 |
| Lampiran 3. Hasil Karakterisasi dengan XRD..... | 66 |
| Lampiran 4. Tahapan Analisis Data Standar dan Pengotor Senyawa BBT Menggunakan Perangkat <i>X'Pert HighScore</i> dan <i>OriginPro 2018</i> .. | 71 |
| Lampiran 5. Hasil Karakterisasi dengan SEM | 77 |
| Lampiran 6. Hasil Karakterisasi dengan EDS | 78 |
| Lampiran 7. Tahapan Analisis Data Energi Cela Pita BBT Menggunakan Perangkat <i>OriginPro 2018</i> | 82 |
| Lampiran 8. Hasil Analisis UV-Vis DRS | 85 |

DAFTAR GAMBAR

| | | |
|-------------|---|----|
| Gambar 2.1 | Struktur kristal BaBi ₄ Ti ₄ O ₁₅ | 8 |
| Gambar 2.2 | Proses mekanisme reaksi fotokatalitik degradasi senyawa polutan organik | 10 |
| Gambar 2.3 | (a) Spektrum absorpsi UV-Vis serbuk BBT, dan (b) plot-Tauc BBT dalam penentuan energi celah pita | 11 |
| Gambar 2.4 | Kemampuan degradasi RhB oleh serbuk BBT dan BBT-Ag | 11 |
| Gambar 2.5 | Pergeseran fungsi kerja senyawa yang didoping ke daerah cahaya tampak | 12 |
| Gambar 2.6 | (a) Plot-Tauc spektrum UV-Vis DRS serbuk BIT, dan (b) ilustrasi celah pita senyawa SBVT | 13 |
| Gambar 2.7 | Hasil fotodegradasi senyawa polutan NO _x menggunakan fotokatalis SBVT | 13 |
| Gambar 2.8 | (a) Spektra UV-Vis DRS, dan (b) plot-Tauc spektra UV-Vis DRS senyawa BFNTO- x ($x = 0; 0,05; 0,10; 0,15; 0,20$) | 14 |
| Gambar 2.9 | Hasil fotodegradasi senyawa RhB oleh BFNTO- x ($x = 0; 0,05; 0,10; 0,15; 0,20$) | 14 |
| Gambar 2.10 | (a) Spektra DRS senyawa BiVO ₄ , dan (b) kemampuan oksidasi air oleh BiVO ₄ dengan variasi waktu hidrotermal yang berbeda | 15 |
| Gambar 2.11 | Gambar SEM partikel BiVO ₄ berbentuk dekahedron homogen dan batang pendek | 16 |
| Gambar 2.12 | Gambar SEM partikel Bi ₂ WO ₆ dengan variasi waktu kalsinasi hidrotermal pada suhu 200°C: (a) 0,5; (b) 1; (c) 3; dan (d) 6 jam | 17 |
| Gambar 2.13 | (a) Spektra DRS kristal tunggal Bi ₂ WO ₆ <i>nanoplate</i> dan Bi ₂ WO ₆ <i>flower-like</i> , (b) kemampuan fotodegradasi larutan RhB oleh kristal tunggal Bi ₂ WO ₆ <i>nanoplate</i> , dan (c) kemampuan fotodegradasi larutan RhB oleh Bi ₂ WO ₆ <i>flower-like</i> | 17 |
| Gambar 2.14 | Skema proses sintesis oksida perovskit dengan metode lelehan garam | 19 |
| Gambar 2.15 | Morfologi partikel Bi ₄ Ti ₃ O ₁₂ dan KPb ₂ Nb ₅ O ₁₅ : (a) pelarutan-pengendapan (<i>reaction stage</i>), dan (b) pelarutan-difusi (<i>particle growth stage</i>) | 21 |
| Gambar 2.16 | Difraktogram senyawa BBT metode lelehan garam fluks NaCl-KCl dan Na ₂ SO ₄ -K ₂ SO ₄ | 22 |
| Gambar 2.17 | Morfologi partikel BBT dengan MSS dan CSS; (a) CSS pada suhu 900°C/2 jam, (b) MSS (NaCl-KCl) pada suhu 850°C/2 jam, (c) MSS (Na ₂ SO ₄ -K ₂ SO ₄) pada suhu 950°C/2 jam, dan (d) MSS (NaCl-KCl) pada suhu 950°C/2 jam | 23 |
| Gambar 2.18 | Distribusi ukuran partikel BBT metode MSS dengan spesi garam berbeda | 24 |

| | | |
|--------------|--|----|
| Gambar 4.1 | Perubahan warna sampel BaBi ₄ Ti _{4-x} V _x O ₁₅ ($x= 0; 0,05; 0,1; 0,15$) (a) sebelum kalsinasi, (b) setelah dua kali kalsinasi pada suhu 780 dan 820°C, dan (c) setelah pengeringan | 32 |
| Gambar 4.2 | Difraktogram BaBi ₄ Ti _{4-x} V _x O ₁₅ ($x= 0; 0,05; 0,1; 0,15$)..... | 33 |
| Gambar 4.3 | Pergeseran puncak difraksi sinar-X pada senyawa BaBi ₄ Ti _{4-x} V _x O ₁₅ ($x= 0; 0,05; 0,1; 0,15$)..... | 34 |
| Gambar 4.4 | Mikrograf SEM dari senyawa BaBi ₄ Ti _{4-x} V _x O ₁₅ untuk $x=$ (a) 0; (b) 0,05; (c) 0,1; dan (d) 0,15) | 35 |
| Gambar 4.5 | Ilustrasi mekanisme pembentukan morfologi <i>plate-like</i> senyawa BaBi ₄ Ti _{4-x} V _x O ₁₅ dengan metode lelehan garam | 37 |
| Gambar 4.6 | Spektra DRS hubungan % reflektansi dengan panjang gelombang senyawa BaBi ₄ Ti _{4-x} V _x O ₁₅ ($x= 0; 0,05; 0,1; 0,15$) ... | 40 |
| Gambar 4.7 | Spektra DRS dengan energi celah pita ($h\nu$) senyawa BaBi ₄ Ti _{4-x} V _x O ₁₅ ($x= 0; 0,05; 0,1; 0,15$)..... | 41 |
| Gambar 4.8 | Ilustrasi perubahan transisi elektronik dari senyawa BaBi ₄ Ti _{4-x} V _x O ₁₅ ($x= 0; 0,05; 0,1; 0,15$)..... | 43 |
| Gambar L.3.1 | Difraktogram senyawa BaBi ₄ Ti _{4-x} V _x O ₁₅ untuk $x= 0$ | 66 |
| Gambar L.3.2 | Difraktogram senyawa BaBi ₄ Ti _{4-x} V _x O ₁₅ untuk $x= 0,05$ | 67 |
| Gambar L.3.3 | Difraktogram senyawa BaBi ₄ Ti _{4-x} V _x O ₁₅ untuk $x= 0,1$ | 68 |
| Gambar L.3.4 | Difraktogram senyawa BaBi ₄ Ti _{4-x} V _x O ₁₅ untuk $x= 0,15$ | 69 |
| Gambar L.5 | Mikrograf SEM perbesaran 7000 dan 15000x material BaBi ₄ Ti _{4-x} V _x O ₁₅ untuk $x=$ (a) 0; (b) 0,05; (c) 0,1; dan (d) 0,15 | 77 |
| Gambar L.6.1 | Spektra EDS senyawa BaBi ₄ Ti _{4-x} V _x O ₁₅ ($x= 0$) | 78 |
| Gambar L.6.2 | Spektra EDS senyawa BaBi ₄ Ti _{4-x} V _x O ₁₅ ($x= 0,05$) | 79 |
| Gambar L.6.3 | Spektra EDS senyawa BaBi ₄ Ti _{4-x} V _x O ₁₅ ($x= 0,1$) | 80 |
| Gambar L.6.4 | Spektra EDS senyawa BaBi ₄ Ti _{4-x} V _x O ₁₅ ($x= 0,15$) | 81 |
| Gambar L.7 | Spektra DRS hubungan % reflektansi dengan panjang gelombang BaBi ₄ Ti _{4-x} V _x O ₁₅ | 82 |
| Gambar L.8.1 | Spektra DRS energi celah pita BaBi ₄ Ti ₄ O ₁₅ | 85 |
| Gambar L.8.2 | Spektra DRS energi celah pita BaBi ₄ Ti _{3,95} V _{0,05} O ₁₅ | 85 |
| Gambar L.8.3 | Spektra DRS energi celah pita BaBi ₄ Ti _{3,9} V _{0,1} O ₁₅ | 86 |
| Gambar L.8.4 | Spektra DRS energi celah pita BaBi ₄ Ti _{3,85} V _{0,15} O ₁₅ | 86 |

DAFTAR TABEL

| | | |
|-------------|---|----|
| Tabel 3.1 | Massa tiap-tiap bahan prekursor untuk mendapatkan senyawa BaBi ₄ Ti _{4-x} V _x O ₁₅ ($x= 0; 0,05; 0,1; 0,15$)..... | 27 |
| Tabel 4.1 | Ukuran rata-rata partikel BaBi ₄ Ti _{4-x} V _x O ₁₅ ($x= 0; 0,05; 0,1; 0,15$) | 38 |
| Tabel 4.2 | Persentase unsur-unsur penyusun senyawa BaBi ₄ Ti _{4-x} V _x O ₁₅ ($x= 0; 0,05; 0,1; 0,15$) | 39 |
| Tabel 4.3 | Nilai energi celah pita dan panjang gelombang senyawa BaBi ₄ Ti _{4-x} V _x O ₁₅ ($x= 0; 0,05; 0,1; 0,15$) | 42 |
| Tabel L.3.1 | Daftar puncak senyawa BaBi ₄ Ti _{4-x} V _x O ₁₅ untuk $x= 0$ | 66 |
| Tabel L.3.2 | Daftar puncak senyawa BaBi ₄ Ti _{4-x} V _x O ₁₅ untuk $x= 0,05$ | 67 |
| Tabel L.3.3 | Daftar puncak senyawa BaBi ₄ Ti _{4-x} V _x O ₁₅ untuk $x= 0,1$ | 68 |
| Tabel L.3.4 | Daftar puncak senyawa BaBi ₄ Ti _{4-x} V _x O ₁₅ untuk $x= 0,15$ | 70 |

ABSTRAK

Himmah, Suci N.H. 2021. **Sintesis Senyawa Aurivillius BaBi₄Ti₄O₁₅ Terdoping Vanadium dengan Metode Lelehan Garam.** Skripsi. Program Studi Kimia Fakultas Sains dan Teknologi Universitas Islam Negeri Maulana Malik Ibrahim Malang. Pembimbing I: Dr. Anton Prasetyo, M.Si; Pembimbing II: Rif'atul Mahmudah, M.Si.

Kata kunci: Barium Bismut Titanat (BBT), Fotokatalis, Energi celah pita, Vanadium, Metode lelehan garam.

Senyawa Aurivillius lapis empat BaBi₄Ti₄O₁₅ (BBT) dilaporkan berpotensi digunakan sebagai fotokatalis dengan energi celah pita 3,2 eV sehingga hanya bekerja pada daerah sinar UV. Salah satu strategi yang banyak dilaporkan untuk menurunkan energi celah pita material fotokatalis adalah pendopingan dengan logam transisi vanadium (V). Penelitian ini bertujuan untuk mengetahui struktur kristal, morfologi, ukuran partikel, komposisi unsur senyawa, dan energi celah pita dari material fotokatalis BaBi₄Ti_{4-x}V_xO₁₅ ($x=0; 0,05; 0,1; 0,15$).

Metode sintesis senyawa BaBi₄Ti_{4-x}V_xO₁₅ ($x=0; 0,05; 0,1; 0,15$) menggunakan metode lelehan garam tunggal KCl. Hasil sintesis dikarakterisasi dengan teknik *X-ray diffraction* (XRD) untuk mengidentifikasi fasa dan struktur kristal produk, *scanning electron microscopy-energy dispersive spectroscopy* (SEM-EDS) untuk menentukan morfologi, ukuran partikel, dan komposisi unsur senyawa, serta *Ultraviolet-Visible diffuse reflectance spectroscopy* (UV-Vis DRS) untuk menghitung energi celah pita.

Hasil penelitian ini diperoleh difraktogram sampel yang menunjukkan senyawa BaBi₄Ti_{4-x}V_xO₁₅ ($x=0; 0,05; 0,1; 0,15$) telah berhasil disintesis dan ditemukan pengotor berupa TiO₂ rutil pada $x=0; 0,05; 0,1; 0,15$ serta Bi₄V₂O₁₁ pada $x=0,15$. Mikrograf SEM material BaBi₄Ti_{4-x}V_xO₁₅ menunjukkan morfologi *plate-like* yang cenderung teraglomerasi dengan unsur-unsur penyusun berupa Ba, Bi, Ti, V dan O. Spektrum UV-Vis DRS menunjukkan bahwa BBT mengalami penurunan energi celah pita setelah didoping dengan logam transisi V dari 3,2 ke 3,09 eV. Penurunan energi celah pita semakin meningkat dengan pergeseran panjang gelombang lebih mendekati daerah sinar tampak seiring bertambahnya konsentrasi dopan.

ABSTRACT

Himmah, Suci N.H. 2021. **Synthesis of Vanadium Doped Aurivillius BaBi₄Ti₄O₁₅ Using Molten Salt Method.** Mini Thesis. Chemistry Department, Faculty of

Science and Technology, Islamic State University of Maulana Malik Ibrahim Malang. Advisor I: Dr. Anton Prasetyo, M.Si; Advisor II: Rif'atul Mahmudah, M.Si.

Keywords: BaBi₄Ti₄O₁₅ (BBT), Photocatalyst, Bandgap energy, Vanadium, Molten salt method.

The fourth layer Aurivillius compound BaBi₄Ti₄O₁₅ (BBT) is reported to have potential to be used as a photocatalyst with a band gap energy of 3.2 eV. One of the widely reported strategies for reducing the band gap energy of photocatalyst material is doping with the transition metal vanadium (V). This study aims to determine the crystal structure, morphology, particle size, elemental composition of compounds, and band gap energy of BaBi₄Ti_{4-x}V_xO₁₅ ($x=0; 0.05; 0.1; 0.15$) photocatalyst materials.

The method of synthesis BaBi₄Ti_{4-x}V_xO₁₅ ($x=0; 0.05; 0.1; 0.15$) compound was using the KCl single molten salt method. The synthesis results were characterized by X-ray diffraction (XRD) technique to identify the crystal phase and structure of the product, scanning electron microscopy-energy dispersive spectroscopy (SEM-EDS) to determine morphology, particle size, and elemental composition of the compound, and Ultraviolet-Visible diffuse reflectance spectroscopy (UV-Vis DRS) to calculate the band gap energy.

The result of this research obtained a sample diffractogram which showed that BaBi₄Ti_{4-x}V_xO₁₅ ($x=0; 0.05; 0.1; 0.15$) compounds had been successfully synthesized and an impurity was found in the form of TiO₂ rutile at $x=0; 0.05; 0.1; 0.15$ and Bi₄V₂O₁₁ at $x=0.15$. SEM micrograph of BaBi₄Ti_{4-x}V_xO₁₅ material showed a plate-like morphology that tended to agglomerate with constituent elements in the form of Ba, Bi, Ti, V and O. The UV-Vis DRS spectrum showed that BBT had decreased the band gap energy after doping with the transition metal V from 3.2 to 3.09 eV. The decrease in band gap energy was increased with a shift in wavelength closer to the visible light region as the dopant concentration increased.

مستخلص البحث

همة ، سوجي ن. ف. ٢٠٢١. توليف مركب $\text{BaBi}_4\text{Ti}_4\text{O}_{15}$ المخدر بالفاناديوم مع طريقة تذويب الملح. بحث جامعي قسم الكيمياء، كلية العلوم والتكنولوجيا، جامعة الدولة الإسلامية مولانا مالك ابراهيم مالانج. المستشار الأول: د. أنطون براسيتيو ، إم إس آي ؛ المستشار الثاني: رفعه محمودة ، إم إس آي.

الكلمات المفتاحية: $\text{BaBi}_4\text{Ti}_4\text{O}_{15}$ (BBT) ، حفاز ضوئي ، طاقة فجوة النطاق ، الفاناديوم ، طريقة تذويب الملح.

تم الإبلاغ عن أن الطريقة الرابعة من مركب $\text{Aurivillius BaBi}_4\text{Ti}_4\text{O}_{15}$ (BBT) لديها إمكانية استخدامها كمحفز ضوئي مع طاقة فجوة نطاق تبلغ 2.2 eV ، بحيث تعمل فقط في منطقة ضوء الأشعة فوق البنفسجية. واحدة من الاستراتيجيات التي تم الإبلاغ عنها على نطاق واسع لخفض طاقة فجوة النطاق لمادة الحفاز الضوئي هي تعاطي المنشطات باستخدام الفاناديوم المعدني الانتقال (V). تهدف هذه الدراسة إلى تحديد التركيب البلوري ، والشكل ، وحجم الجسيمات ، والتركيب الأولي للمركبات ، وطاقة فجوة النطاق لمادة الحفاز الضوئي ($x=0.05$ ، 0.15 ، 0.14 ، 0.05 ، 0.005).

استخدمت طريقة توليف مركبات $\text{BaBi}_{4-x}\text{V}_x\text{O}_{15}$ باستخدام طريقة ذوبان KCl . تميزت نتائج التوليف بتقنية حيود الأشعة السينية (XRD) لتحديد التركيب البلوري للمنتج ، ومسح التحليل الطيفي المشتت للطاقة بالمجهر الإلكتروني (SEM-EDS) لتحديد التشكيل وحجم الجسيمات والتركيب الأولي للمركب ، وتحليل الطيفي للانعكاس المنتشر فوق البنفسجي المرئي (UV-Vis DRS) لحساب طاقة فجوة النطاق. حصلت نتائج الدراسة على عينة حيود توضح أن المركب $\text{BaBi}_{4-x}\text{V}_x\text{O}_{15}$ قد تم تصنيعه بنجاح وتم العثور على شوائب في شكل روتيل TiO_2 عند $x=0.15$ و $\text{Bi}_4\text{V}_2\text{O}_{11}$ عند $x=0.05$. ظهر صورة مجهرية SEM لمادة $\text{BaBi}_{4-x}\text{V}_x\text{O}_{15}$ شكلًا يشبه الصفيحة يميل إلى التكتل مع العناصر المكونة في شكل V, Ti, Bi, Ba و O . يُظهر طيف الأشعة فوق البنفسجية المرئية (UV-Vis DRS) أن BBT قد قلل من طاقة فجوة النطاق بعد تعاطي المنشطات مع الفاناديوم المعدني الانتقال (V) من 3.2 eV إلى 2.09 eV . يزداد الانخفاض في طاقة فجوة النطاق مع حدوث تحول في الطول الموجي بالقرب من منطقة الضوء المرئي مع زيادة تركيز شوائب.

BAB I

PENDAHULUAN

1.1 Latar Belakang

Senyawa berstruktur Aurivillius merupakan senyawa dengan rumus umum $\text{Bi}_2A_{m-1}B_m\text{O}_{3m+3}$ dengan m (1, 2, 3, 4...) merupakan bilangan bulat yang menunjukkan jumlah lapis perovskit. Senyawa berstruktur Aurivillius tersusun bergantian oleh lapis bismut $(\text{Bi}_2\text{O}_2)^{2+}$ dan lapis perovskit $(A_{m-1}B_m\text{O}_{3m+3})^{2-}$. Kation A merupakan kation yang berukuran besar seperti Na^+ , Mg^{2+} , Sr^{2+} , Ba^{2+} , dan Bi^{3+} , sedangkan kation B merupakan kation logam transisi yang memiliki ukuran lebih kecil dibandingkan dengan logam kation A dan bermuatan tinggi seperti Ti^{4+} , Nb^{5+} , Ta^{6+} , dan V^{5+} (Aurivillius, 1949). Banyak pihak telah melaporkan sifat-sifat menarik senyawa berstruktur Aurivillius di antaranya adalah feroelektrik, *photoluminescence*, fotokatalis, dan termoelektrik (Lazarevic, dkk., 2005; Yao, dkk., 2003; dan Zhao, dkk., 2014).

$\text{BaBi}_4\text{Ti}_4\text{O}_{15}$ (BBT) merupakan senyawa berstruktur Aurivillius lapis empat yang dilaporkan memiliki sifat feroelektrik sehingga berpeluang digunakan dalam bidang industri elektronik. Sifat menarik lainnya adalah sifat fotokatalis dari BBT. Qi, dkk. (2019) melaporkan aplikasi BBT sebagai pendegradasi Rhodamin B. BBT mampu mendegradasi larutan Rhodamin B (RhB) sebanyak 15% setelah diradiasi selama 3,5 jam di bawah sinar UV-Vis. Senyawa Aurivillius memiliki kemampuan fotokatalitik yang lebih tinggi dibandingkan senyawa lain karena Aurivillius dikenal sebagai bahan feroelektrik yang dilaporkan dapat menghambat laju rekombinan *elektron-hole* (e^-/h^+) dan mentranspor elektron dari pita valensi ke pita konduksi

dengan lebih mudah karena memiliki konfigurasi logam transisi d^0 (Ti^{4+} , Nb^{5+} , Ta^{5+} , dll.) (Wang, dkk., 2003).

Fotokatalis merupakan suatu kombinasi antara proses fotokimia dan katalis. Proses fotokimia adalah proses sintesis (transformasi) secara kimiawi yang melibatkan cahaya sebagai pemicunya, sedangkan katalis adalah substansi yang dapat mempercepat jalannya reaksi dengan jalan mengubah jalur (mekanisme) reaksi tanpa ikut terkonsumsi pada reaksi tersebut (Ravelli, dkk., 2015). Fotokatalis merupakan salah satu *green technology* yang salah satu manfaatnya adalah untuk mengatasi pencemaran lingkungan zat warna yang akan didekomposisi menjadi senyawa yang lebih sederhana. Beberapa pemanfaatan lain teknologi fotokatalis di antaranya adalah produksi H_2 dengan proses *water splitting*, dan sterilisasi bakteri (Alfaro, dkk., 2010).

Aplikasi BBT sebagai fotokatalis dapat digunakan untuk mengatasi masalah pencemaran lingkungan. Penanganan yang kurang efektif akan memberikan dampak kerusakan terhadap lingkungan dan sekitarnya. Allah SWT berfirman:

وَإِذْ قَالَ رَبُّكَ لِلْمَلَائِكَةِ إِنِّي جَاعِلٌ فِي الْأَرْضِ خَلِيفَةً قَالُوا أَتَجْعَلُ فِيهَا مَن يُقْسِدُ فِيهَا وَيَسْفِلُ
أُلْدِيمَاءَ وَنَحْنُ نُسَيْخُ بِحَمْدِكَ وَنُقَدِّسُ لَكَ قَالَ إِنَّمَا أَعْلَمُ مَا لَا تَعْلَمُونَ (٣٠)

Artinya: “Ingatlah ketika Tuhanmu berfirman kepada para Malaikat: “Sesungguhnya Aku hendak menjadikan seorang khalifah di muka bumi”. Mereka berkata: “Mengapa Engkau hendak menjadikan (khalifah) di bumi itu orang yang akan membuat kerusakan padanya dan menumpahkan darah, padahal Kami senantiasa bertasbih dengan memuji Engkau dan mensucikan Engkau?.” Tuhan berfirman: “Sesungguhnya Aku mengetahui apa yang tidak kamu ketahui” (QS. al-Baqarah: 30).

Ayat ketiga puluh surat al-Baqarah ini menegaskan bahwa Allah SWT menciptakan manusia dan menjadikannya sebagai *khalifah*. Konsep *khalifah* ini mengandung pengertian bahwa manusia dipilih sebagai wakil Allah yang dapat mempresentasikan dirinya sesuai dengan sifat-sifat Allah. Salah duanya ialah sebagai pemelihara atau penjaga alam, serta harus aktif dan bertanggung jawab untuk menjaga bumi. Artinya, manusia harus menjaga keberlangsungan fungsi bumi sebagai tempat kehidupan makhluk Allah, sekaligus menjaga keberlanjutan kehidupannya. Oleh karena itu, akan tercapai suatu tujuan penciptaan yang dikehendaki-Nya sehingga terjadi keserasian alam semesta. Namun demikian, satu hal yang perlu ditegaskan, bahwa keterjagaan dan kelestarian alam bukan berarti keterjagaannya dalam bentuk statis (tidak berubah), melainkan keterjagaan alam dalam upaya melestarikan sehingga selalu serasi dan seimbang (Setiyawan, 2012). Oleh karena itu, dibutuhkan langkah yang tepat dalam penanganan kerusakan lingkungan sehingga tidak mengakibatkan terganggunya keserasian yang menjadi ciri alam raya sejak diciptakan.

Sebagai material fotokatalis, BBT mempunyai energi celah pita sebesar 3,2 eV (< 400 nm). Dengan energi celah pita sebesar ini, maka pemanfaatan matahari sebagai sumber foton menjadi kurang maksimal dan terbatas pada sinar UV, sedangkan matahari hanya mengandung komponen sinar UV sebanyak 3,5%. Sebaliknya, sinar tampak dan dekat infra merah (NIR) masing-masing menyumbang 48 dan 44% dari spektrum matahari (Xue, dkk., 2018). Oleh karena itu, dibutuhkan strategi untuk menurunkan energi celah pita yang tinggi dari BBT agar pemanfaatannya menjadi lebih luas pada sinar tampak. Strategi yang banyak dilaporkan dapat menurunkan energi celah pita adalah pendopingan logam atau non

logam seperti La, Nd, Fe, Cr, V, Ag, Al, F, Mo, Nb, Ni, Pt, dan Ta (Simoes, dkk., 2008; Hushur, dkk., 2002; Liu, dkk., 2016; Hou, dkk., 2011; dan Gu, dkk., 2016).

Pendopingan logam pada material fotokatalis Aurivillius telah dilaporkan oleh beberapa pihak. Liu, dkk. (2017) melakukan pendopingan logam Fe^{3+} pada material $\text{Bi}_5\text{Ti}_3\text{FeO}_{15}$ ($\text{Bi}_{5-x}\text{Fe}_{1+x}\text{O}_{15}$ ($x= 0; 0,2; 0,4; 0,6$)) dan dilaporkan bahwa pendopingan Fe mampu menurunkan energi celah pita dari 2,45 ke 1,82 eV (pada $x= 0,6$). Hasil ini berkaitan dengan pembentukan keadaan baru pita konduksi akibat penataan ulang orbital molekul dan distorsi yang diinduksi dalam oktahedra (Ti, Fe) O_6 setelah didoping dengan Fe^{3+} . Agustina, dkk. (2020) mendoping senyawa Aurivillius $\text{Bi}_{14}\text{Ti}_3\text{O}_{12}$ dengan logam vanadium ($\text{Bi}_{4}\text{Ti}_{3-x}\text{V}_x\text{O}_{12}$ ($x= 0; 0,05; 0,1; 0,15$, dan 0,2)) dan dilaporkan bahwa logam vanadium dapat menurunkan celah pita dari 2,91 eV (427 nm) ke 1,50 eV (826 nm) pada pendopingan vanadium ($x= 0,2$). Selain pendopingan ion logam atau non-logam, aktivitas fotokatalitik senyawa Aurivillius dapat ditingkatkan dengan penggabungan (kopling) fotokatalis semikonduktor, pengontrolan morfologi untuk mencegah rekombinasi *elektron-hole* (e^-/h^+), penurunan energi celah pita, dan peningkatan mobilitas transpor elektron dari pita valensi (VB) ke pita konduksi (CB) (Daghrir, dkk., 2013 dan Long, dkk., 2020)

Penggunaan logam vanadium sebagai dopan material fotokatalis telah dilaporkan beberapa pihak. Bantawal, dkk. (2020) melakukan pendopingan vanadium pada material SrTiO_3 dan dilaporkan dapat menurunkan energi celah pita. Energi celah pita pada SrTiO_3 terdoping 1,0 mol% vanadium mengalami penurunan dari 3,16 ke 2,54 eV, sedangkan dari uji aktivitas fotokatalitik diperoleh hasil bahwa aktivitas fotokatalis senyawa SrTiO_3 terdoping vanadium lebih tinggi dalam mendegradasi senyawa metilen biru dibandingkan dengan SrTiO_3 murni akibat penurunan energi celah pita. Yang, dkk. (2009) juga melaporkan pendopingan

logam vanadium pada senyawa $K_2La_2Ti_3O_{10}$ ($K_2La_2Ti_{3-x}V_xO_{10}$ ($x= 0,005; 0,01; 0,015; 0,02; 0,025$)) dengan konsentrasi optimum dopan pada 0,015 menghasilkan penurunan energi celah pita dari 4 ke 2,1 eV. Aktivitas fotokatalitik dari senyawa $K_2La_2Ti_{3-x}V_xO_{10}$ mengalami peningkatan dalam proses *water splitting* pada daerah UV sebesar 75% dan daerah sinar tampak sebesar 167%.

Aktivitas fotokatalitik juga dipengaruhi oleh faktor ekstrinsik yang salah satunya adalah morfologi partikel. Menurut Roy, dkk. (2011) dan Zhang, dkk. (2017), morfologi ukuran dan bentuk kristal yang seragam akan membantu dalam transpor elektron dan mencegah rekombinasi e^-/h^+ sehingga akan meningkatkan aktivitas fotokatalitik dari fotokatalis. Ramana, dkk. (2017) melaporkan pendopingan senyawa $Bi_{14}Ti_3O_{12}$ dengan samarium dan vanadium (SBVT) dengan metode reaksi keadaan padat menghasilkan partikel berbentuk lempengan (*plate-like*) yang seragam tanpa fase sekunder dengan ukuran panjang rata-rata 5 μ m dan tebal 0,9 μ m. Selain itu, material SBVT secara fotokatalitik mampu mendegradasi nitrogen oksida dan cocok digunakan berulang-ulang (*reusable*).

Metode sintesis yang dilaporkan berhasil untuk menyintesis senyawa Aurivillius adalah metode (a) reaksi keadaan padat (Ferreira, dkk., 2020), (b) metode hidrotermal (Pookmanee, dkk., 2004), (c) metode sol-gel (Kim, dkk., 2003), dan (d) metode lelehan garam (Zhao, dkk., 2014). Metode sintesis yang dilaporkan dapat menghasilkan partikel dengan morfologi yang khas adalah metode lelehan garam. Metode lelehan garam adalah metode sintesis dengan penggunaan lelehan garam yang dicampur ke prekursor pada suhu sintesis yang lebih rendah dibandingkan dengan metode konvensional lainnya. Garam yang paling umum digunakan adalah NaCl, KCl, Na₂SO₄, dan K₂SO₄ (Kan, dkk., 2003). Metode ini memiliki beberapa kelebihan dibandingkan dengan metode lainnya, yaitu (a)

menggunakan suhu yang relatif lebih rendah, (b) meningkatkan laju reaksi, difusi ion dan derajat homogenitas (distribusi konstituen elemen dalam larutan padat), (c) mengontrol ukuran dan bentuk partikel, (d) meminimalisir aglomerasi, (e) menghasilkan produk yang relatif murni, (f) relatif stabil, dan (g) ramah lingkungan (Ke, dkk., 2007; Zuniga, 2018; Porob dan Maggard, 2006; dan Wendari, dkk., 2020).

Sintesis senyawa Aurivillius lapis empat dengan menggunakan metode lelehan garam telah dilaporkan beberapa pihak. Liu, dkk. (2017) melaporkan telah berhasil menyintesis $\text{Bi}_4\text{Ti}_3\text{O}_{12}$ terdoping Fe^{3+} ($\text{Bi}_4\text{Fe}_x\text{Ti}_{3-x}\text{O}_{12}$ ($x= 0; 0,02; 0,04; 0,06$)) dengan menggunakan metode lelehan garam NaCl-KCl dan menghasilkan morfologi partikel berupa lembaran (*sheet-like*) yang seragam dengan ketebalan rata-rata ~ 45 nm dan panjang sisi $\sim 500\text{-}1000$ nm. Li, dkk. (2020) juga berhasil menyintesis $\text{Bi}_4\text{Ti}_3\text{O}_{12}$ dan $\text{Na}_{0,5}\text{Bi}_{0,5}\text{TiO}_3$ ($\text{Na}_2\text{CO}_3 = 0, 30, 60,$ dan 90 mol%) dengan menggunakan metode lelehan garam KCl:NaCl (1:1) dan memperoleh morfologi partikel berbentuk *plate-like* yang seragam dengan rata-rata ketebalan $0,76\text{-}1\mu\text{m}$ dan panjang $10\text{-}20\mu\text{m}$ pada Na_2CO_3 (30 mol%).

Berdasarkan kajian di atas maka dalam penelitian ini dilakukan sintesis dan karakterisasi senyawa $\text{BaBi}_4\text{Ti}_4\text{O}_{15}$ terdoping vanadium ($\text{BaBi}_4\text{Ti}_{4-x}\text{V}_x\text{O}_{15}$ ($x= 0; 0,05; 0,1; 0,15$)) dengan menggunakan metode lelehan garam KCl . Sampel yang diperoleh akan dikarakterisasi dengan teknik: (a) *X-ray diffraction* (XRD) untuk mengidentifikasi fasa dan struktur kristal produk, (b) *scanning electron microscopy-energy dispersive spectroscopy* (SEM-EDS) untuk menentukan morfologi, ukuran partikel, dan komposisi unsur senyawa, serta (c) *Ultraviolet-Visible diffuse reflectance spectroscopy* (UV-Vis DRS) untuk menghitung energi celah pita.

1.2 Rumusan Masalah

Bagaimana fasa dan struktur kristal, morfologi, ukuran partikel, komposisi unsur senyawa, dan energi celah pita dari material fotokatalis $\text{BaBi}_4\text{Ti}_{14-x}\text{V}_x\text{O}_{15}$ ($x=0; 0,05; 0,1; 0,15$) yang disintesis dengan metode lelehan garam KCl?

1.3 Tujuan Penelitian

Tujuan dari penelitian ini adalah untuk mengetahui fasa dan struktur kristal, morfologi, ukuran partikel, komposisi unsur senyawa, dan energi celah pita dari material fotokatalis $\text{BaBi}_4\text{Ti}_{14-x}\text{V}_x\text{O}_{15}$ ($x=0; 0,05; 0,1; 0,15$) yang disintesis dengan metode lelehan garam KCl.

1.4 Batasan Masalah

Batasan masalah dalam penelitian ini adalah:

- a. Sintesis senyawa $\text{BaBi}_4\text{Ti}_{14}\text{O}_{15}$ yang didoping vanadium dengan menggunakan metode lelehan garam dengan rasio $\text{BaBi}_4\text{Ti}_{14-x}\text{V}_x\text{O}_{15}/\text{KCl}$ 1:7.
- b. Suhu dan waktu sintesis yang diperlukan ialah 780 dan 820°C masing-masing selama 8 jam.

1.5 Manfaat Penelitian

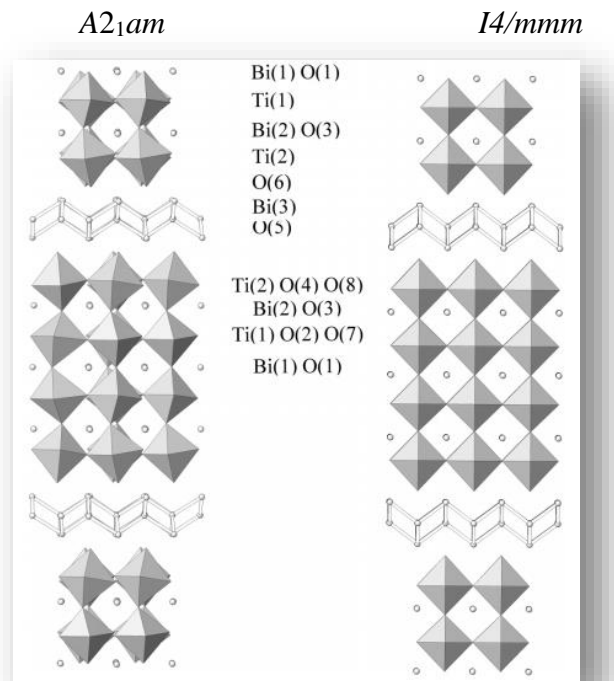
Penelitian ini akan memberikan informasi mengenai struktur kristal, morfologi, ukuran partikel, komposisi unsur, dan energi celah pita senyawa Aurivillius $\text{BaBi}_4\text{Ti}_{14-x}\text{V}_x\text{O}_{15}$ ($x=0; 0,05; 0,1; 0,15$), serta pengaruhnya terhadap aktivitas fotokatalitik yang disintesis dengan metode lelehan garam.

BAB II

TINJAUAN PUSTAKA

2.1 Senyawa Aurivillius Lapis Empat ($\text{BaBi}_4\text{Ti}_4\text{O}_{15}$)

Senyawa Aurivillius mempunyai rumus molekul $\text{Bi}_2\text{A}_{m-1}\text{B}_m\text{O}_{3m+3}$ yang tersusun atas lapis perovskit $(\text{A}_{m-1}\text{B}_m\text{O}_{3m+1})^{2-}$ dan lapis $(\text{Bi}_2\text{O}_2)^{2+}$, dengan A adalah kation logam besar monovalen, divalen, atau trivalen dan kation B adalah kation logam kecil tetravalen, pentavalen, atau heksavalen (Chakrabakti, dkk., 2009; dan Almeida, dkk., 2018). $\text{BaBi}_4\text{Ti}_4\text{O}_{15}$ (BBT) merupakan salah satu senyawa Aurivillius lapis 4 dan dilaporkan memiliki struktur ortorombik dengan grup ruang $A2_1am$ pada suhu rendah dan tetragonal pada suhu tinggi dengan grup ruang $I4/mmm$ (Rao, 1995; dan Tellier, dkk., 2004). Struktur senyawa BBT ditampilkan pada Gambar 2.1.



Gambar 2.1 Struktur kristal $\text{BaBi}_4\text{Ti}_4\text{O}_{15}$ (Tellier, dkk., 2004)

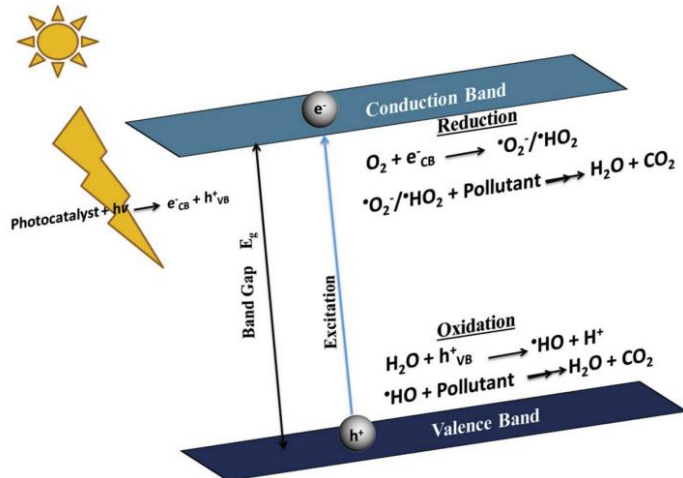
Senyawa BBT dilaporkan memiliki sifat yang menarik yaitu sifat dielektrik, piezoelektrik, feroelektrik, dan fotokatalitik (Lazarevic, dkk., 2009). Berdasarkan sifat-sifat ini, material BBT memiliki aplikasi yang cukup luas di antaranya adalah sebagai fotokatalis, sensor, akuator, *ferroelectric random acces memories* (FeRAMs), dan beberapa fungsi elektronik lainnya (Khokar, dkk., 2013; dan Murugan, dkk., 2006). Sifat fotokatalitik BBT cukup menjanjikan dalam aplikasi beberapa bidang, seperti produksi H₂ melalui proses *water splitting* (fotolisis air), produksi CH₄ melalui reduksi CO₂, fotodekomposisi atau fotooksidasi zat berbahaya, fotosintesis buatan, superhidrofilisitas fotoinduksi, dan sebagainya (Tong, dkk., 2012).

2.2 Senyawa BaBi₄Ti₄O₁₅ (BBT) sebagai Fotokatalis

Fotokatalis merupakan perpaduan antara fotokimia dan katalis. Proses reaksi fotokimia melibatkan suatu cahaya (foton). Fotokatalisis sendiri adalah suatu proses yang dibantu oleh adanya cahaya dan material katalis. Katalis adalah suatu zat yang memengaruhi proses laju reaksi tanpa ikut berubah secara kimia. Katalis dapat mempercepat fotoreaksi melalui interaksinya dengan substrat baik keadaan dasar maupun tereksitasi atau dengan fotoproduk utamanya, tergantung pada mekanisme fotoreaksi tersebut (Serpone dan Emeline, 2002).

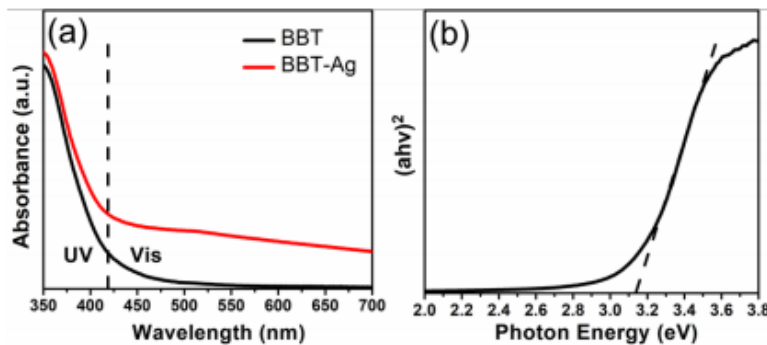
Proses fotokatalitik material semikonduktor yaitu cahaya foton yang mempunyai energi lebih besar dari energi celah pita mengenai bahan semikonduktor, maka elektron (e^-) dalam pita valensi (VB) akan tereksitasi ke pita konduksi (CB) dan dihasilkan *hole* (h^+) pada VB. Proses generasi pasangan e^-/h^+ ini disebut fotoeksitasi. Elektron pada CB pindah ke permukaan katalis dan

berpartisipasi dalam reaksi reduksi, sedangkan *hole* pada VB berdifusi ke permukaan fotokatalis dan terlibat dalam reaksi oksidasi (Pawar, dkk., 2018). Proses mekanisme reaksi fotodegradasi senyawa polutan organik oleh fotokatalis ditampilkan pada Gambar 2.2.

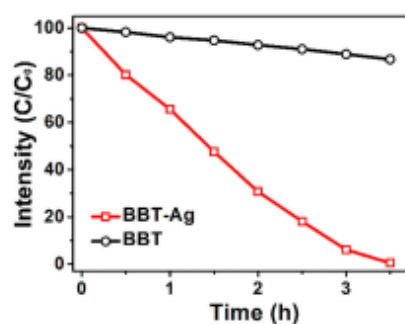


Gambar 2.2 Proses mekanisme reaksi fotokatalitik degradasi senyawa polutan organik (Ganguly, dkk., 2018)

Senyawa fotokatalis BBT dilaporkan memiliki energi celah pita sebesar 3,2 eV atau setara dengan cahaya UV berpanjang gelombang (388 nm). Data spektrum dari pengukuran dengan menggunakan UV-Vis DRS ditampilkan pada Gambar 2.3 (Qi, dkk., 2019). Transisi elektronik pada pita energi BBT melibatkan elektron pada VB yang berasal dari hibridisasi orbital O $2p$ dan Bi $6s^2$, sedangkan CB ada pada orbital *d* pada logam yang menempati situs *B* (Ti) (Murugesan, 2010). Aktivitas fotokatalitik BBT dilaporkan dari uji fotodegradasi Rhodamin B (RhB) yang dilaporkan mempunyai kemampuan mendegradasi sebesar 15% oleh BBT murni dan 100% oleh BBT-Ag di bawah radiasi sinar UV-Vis selama 3,5 jam. Grafik kemampuan degradasi RhB oleh BBT murni dan BBT-Ag ditampilkan pada Gambar 2.4 (Qi, dkk., 2019).



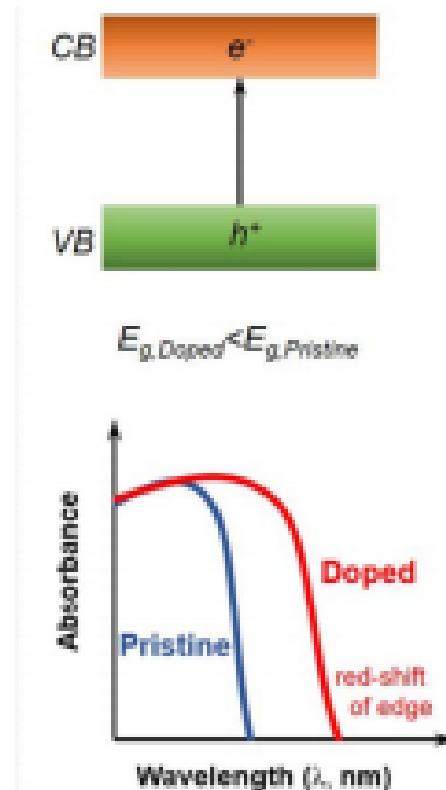
Gambar 2.3 (a) Spektrum absorpsi UV-Vis serbuk BBT, dan (b) plot-Tauc BBT dalam penentuan energi celah pita (Qi, dkk., 2019)



Gambar 2.4 Kemampuan degradasi RhB oleh serbuk BBT murni dan BBT-Ag (Qi, dkk., 2019)

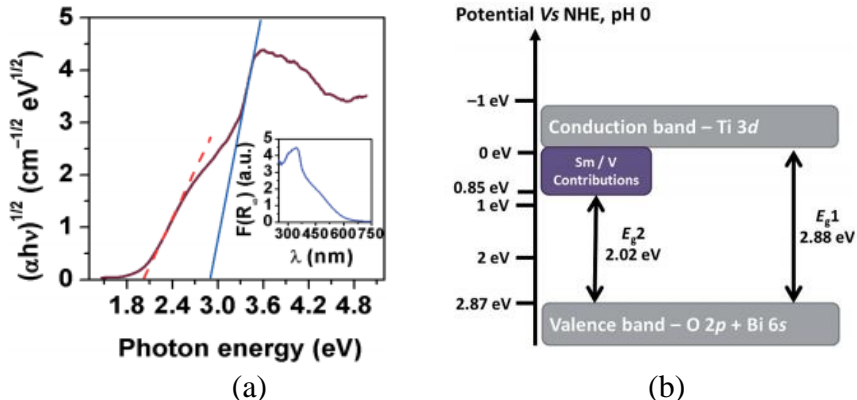
2.3 Pendopingan Logam pada Senyawa Fotokatalis Aurivillius

Pendopingan adalah proses penambahan sejumlah kecil logam atau oksida pada senyawa semikonduktor (Zhou, dkk., 2018 dan Khalidi, dkk., 2017). Pendopingan dapat meningkatkan reaksi fotokatalitik dengan cara: (a) memodifikasi celah pita fotokatalis untuk menghindari rekombinasi pembawa muatan dan (b) memunculkan tingkat energi baru dari unsur dopan dengan energi celah yang lebih rendah (Wang, dkk., 2014). Syarat logam yang dapat dijadikan sebagai dopan pada senyawa BBT ialah harus memiliki ukuran dan muatan yang relatif sama dengan logam yang akan disubstitusi (Wu, dkk., 2015). Grafik pergeseran energi celah pita suatu senyawa ke arah sinar berpanjang gelombang tampak sebagai akibat pendopingan ditampilkan pada Gambar 2.5.

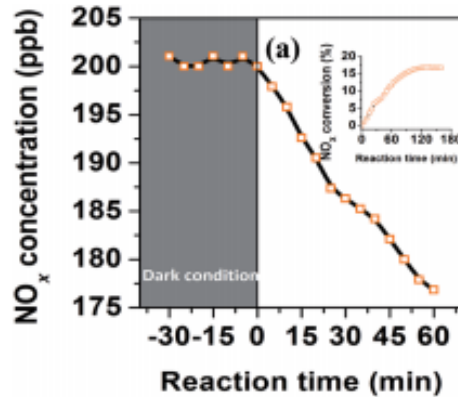


Gambar 2.5 Pergeseran fungsi kerja senyawa yang didoping ke daerah cahaya tampak (Li dan Wu, 2015)

Pendopingan pada senyawa fotokatalis Aurivillius telah dilaporkan beberapa pihak. Ramana, dkk. (2017) melaporkan bahwa pendopingan senyawa $\text{Bi}_4\text{Ti}_3\text{O}_{12}$ dengan logam samarium dan vanadium berhasil menurunkan energi celah pita dari 2,88 menjadi 2,02 eV. Hasil ini disebabkan oleh terbentuknya tingkat energi baru oleh samarium dan vanadium sebagai dopan dengan pembentukan sub pita baru akibat doping yang ditampilkan pada Gambar 2.6. Ramana, dkk. (2017) juga melaporkan bahwa Senyawa SBVT berhasil mendegradasi senyawa NO_x sebanyak 12% dibawah radiasi cahaya tampak selama 60 menit dan sebanyak 17% selama 120 menit. Data hasil eksperimennya ditampilkan pada Gambar 2.7.



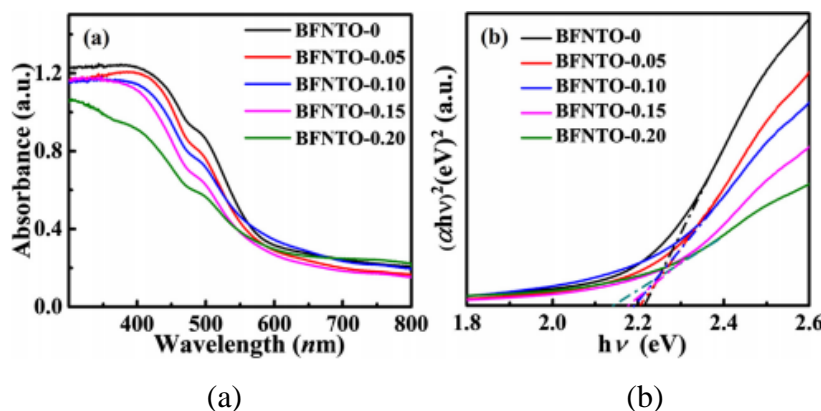
Gambar 2.6 (a) Plot-Tauc spektrum UV-Vis DRS serbuk BIT, dan (b) ilustrasi celah pita senyawa SBVT (Ramana, dkk., 2017)



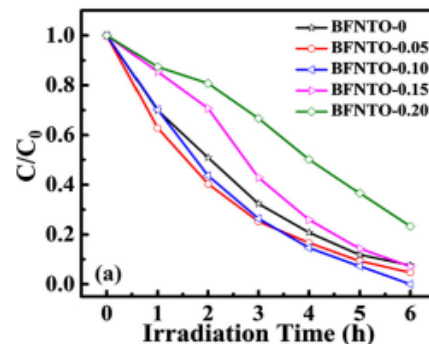
Gambar 2.7 Hasil fotodegradasi senyawa polutan NO_x menggunakan fotokatalis SBVT (Ramana, dkk., 2017)

Sun, dkk. (2019) melaporkan pendopingan Ni pada kation B senyawa $\text{Bi}_5\text{FeTi}_3\text{O}_{15}$ ($\text{Bi}_5\text{Fe}_{1-x}\text{Ni}_x\text{Ti}_3\text{O}_{15}$ ($x = 0; 0,05; 0,10; 0,15; 0,20$)) dan menghasilkan penurunan energi celah pita dari 2,21 eV (BFTO murni) menjadi: (a) 2,20 eV dengan $x = 0,005$ (BFNTO-0,05); (b) 2,19 eV dengan $x = 0,10$ (BFNTO-0,10); (c) 2,17 eV dengan $x = 0,15$ (BFNTO-0,15) dan (d) 2,14 dengan $x = 0,20$ (BFNTO-0,20). Penurunan energi celah pita mengakibatkan senyawa tersebut dapat aktif pada daerah cahaya tampak yang disebabkan oleh terbentuknya pita konduksi baru oleh campuran orbital Ni-3d dan Ti-3d. Penurunan energi celah pita yang ditunjukkan dari data spektrum DRS ditampilkan pada Gambar 2.8. Aktivitas fotokatalitik dari

BFNTO- x diuji dengan fotodegradasi Rhodamin B (RhB) dan diperoleh degradasi RhB sebanyak 92,4% selama 6 jam oleh BFNTO murni, 95,3% oleh BFNTO-0,05, 100% oleh BFNTO-0,10, 92,9% oleh BFNTO-0,15, dan 76,7% oleh BFNTO-0,20 (Sun, dkk., 2019). Hasil fotodegradasi senyawa RhB oleh BFNTO- x ditampilkan pada Gambar 2.9.



Gambar 2.8 (a) Spektra UV-Vis DRS, dan (b) plot-Tauc spektra UV-Vis DRS senyawa BFNTO- x ($x = 0; 0,05; 0,10; 0,15; 0,20$) (Sun, dkk., 2019)

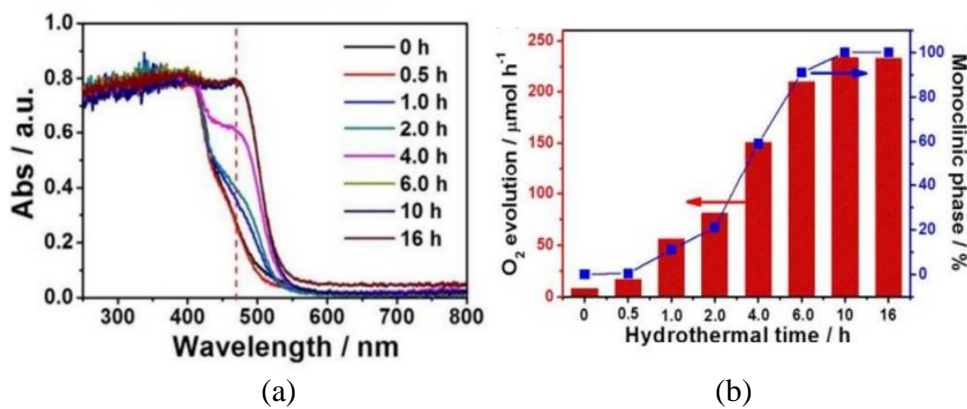


Gambar 2.9 Hasil fotodegradasi senyawa RhB oleh BFNTO- x ($x = 0; 0,05; 0,10; 0,15; 0,20$) (Sun, dkk., 2019)

2.4 Pengaruh Morfologi pada Aktivitas Fotokatalitik

Salah satu faktor ekstrinsik yang memengaruhi aktivitas fotokatalitik adalah morfologi partikel. Morfologi partikel terbukti menjadi faktor penting dalam proses fotokimiawi fotokatalis, seperti penyerapan cahaya, pemisahan muatan, dan reaksi

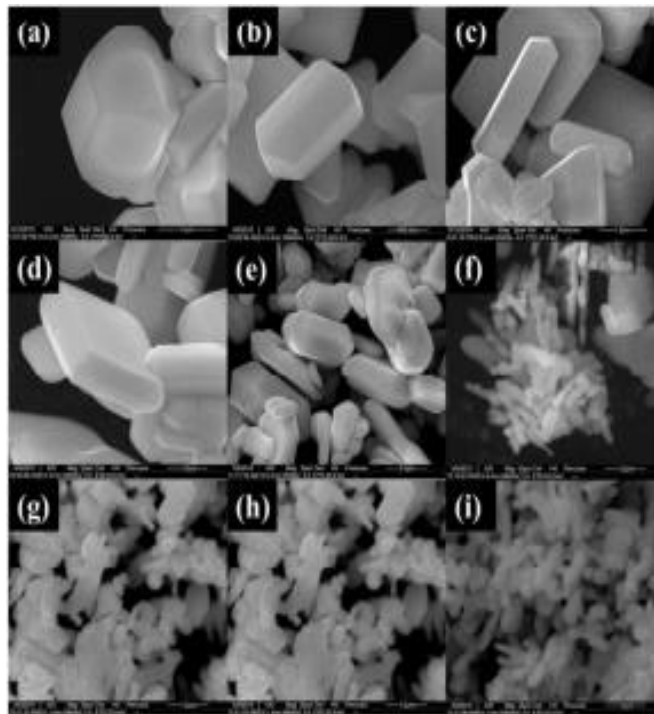
katalitik pada permukaan fotokatalis. Material berstruktur nano dengan ukuran kristal < 20 nm dilaporkan lebih efektif dijadikan sebagai bahan fotokatalis. Zhao, dkk. (2017) melaporkan uji aktivitas fotokatalitik senyawa BiVO_4 menggunakan reaksi oksidasi air di bawah sinar tampak ($\lambda \geq 420$ nm). BiVO_4 yang memiliki morfologi berbentuk mikrosfer dengan permukaan kasar dapat mengoksidasi air sebesar $< 10\%$, sedangkan BiVO_4 yang memiliki morfologi berbentuk dekahedron homogen dapat mengoksidasi air sebesar 30%. Aktivitas fotokatalitik dari partikel BiVO_4 dapat dilihat pada Gambar 2.10.



Gambar 2.10 (a) Spektra DRS senyawa BiVO_4 , dan (b) kemampuan oksidasi air oleh BiVO_4 dengan variasi waktu hidrotermal yang berbeda (Zhao, dkk., 2017)

Selain itu, Zhao, dkk. (2017) juga berhasil membandingkan aktivitas fotokatalitik antara BiVO_4 dengan morfologi berbentuk dekahedron homogen dan batang pendek. Uji aktivitas fotokatalitik juga dilakukan dengan uji reaksi oksidasi di bawah sinar tampak ($\lambda \geq 420$ nm) dan dihasilkan BiVO_4 berbentuk dekahedron homogen dapat mengoksidasi air lebih baik dibandingkan bentuk batang pendek (Zhao, dkk., 2017). Hasil ini menunjukkan bahwa BiVO_4 berbentuk dekahedron homogen memiliki kestabilan aktivitas fotokatalitik lebih baik dibandingkan BiVO_4

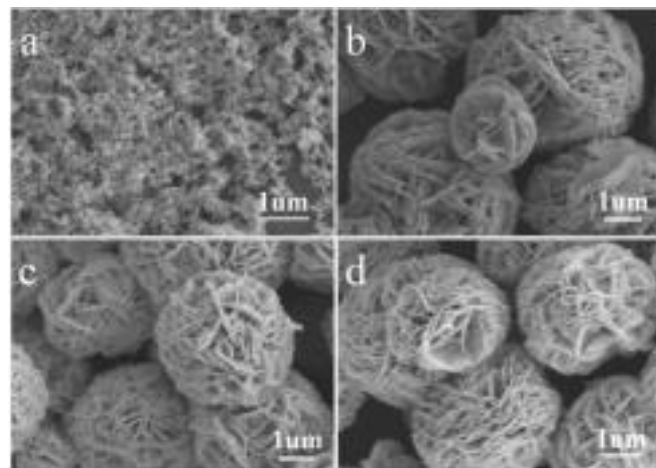
yang berbentuk mikrosfer maupun batang pendek. Gambar morfologi dari partikel BiVO₄ dengan ditampilkan pada Gambar 2.11.



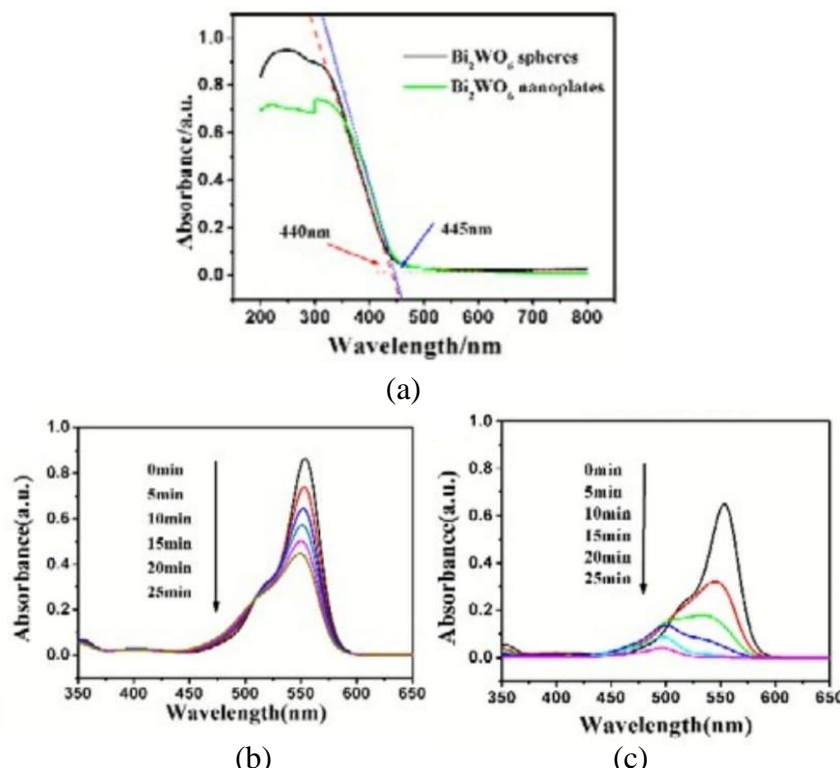
Gambar 2.11 Gambar SEM partikel BiVO₄ berbentuk dekahedron homogen dan batang pendek (Zhao, dkk., 2017)

Jiang, dkk. (2019) melaporkan uji aktivitas fotokatalitik dari senyawa Bi₂WO₆ dengan morfologi berbeda yang ditampilkan pada Gambar 2.12. Aktivitas fotokatalitik tersebut diuji dengan degradasi Rhodamin B (RhB) dibawah radiasi sinar tampak. Kristal tunggal Bi₂WO₆ berbentuk *nanoplate* berhasil mendegradasi RhB sebesar 46% selama 25 menit sedangkan Bi₂WO₆*flower-like* hampir 100% dapat mendegradasi larutan RhB dengan sempurna. Artinya, walaupun keduanya sama-sama aktif dibawah sinar tampak (445 nm dengan energi celah pita 2,57 eV untuk Bi₂WO₆ *nanoplate* dan 440 nm dengan energi celah pita 2,50 eV untuk Bi₂WO₆ *flower-like*), tetapi karena keduanya memiliki morfologi dan keseragaman bentuk partikel yang berbeda menyebabkan aktivitas fotokatalitiknya juga berbeda

(Jiang, dkk., 2019). Aktivitas fotokatalitik dari kristal tunggal Bi_2WO_6 *nanoplate* dan Bi_2WO_6 *flower-like* ditampilkan pada Gambar 2.13.



Gambar 2.12 Gambar SEM partikel Bi_2WO_6 dengan variasi waktu kalsinasi hidrotermal pada suhu 200°C : (a) 0,5; (b) 1; (c) 3; dan (d) 6 jam (Jiang, dkk., 2019)



Gambar 2.13 (a) Spektra DRS kristal tunggal Bi_2WO_6 *nanoplate* dan Bi_2WO_6 *flower-like*, (b) kemampuan fotodegradasi larutan RhB oleh kristal tunggal Bi_2WO_6 *nanoplate*, dan (c) kemampuan fotodegradasi larutan RhB oleh Bi_2WO_6 *flower-like* (Jiang, dkk., 2019)

2.5 Metode Sintesis dengan Lelehan Garam

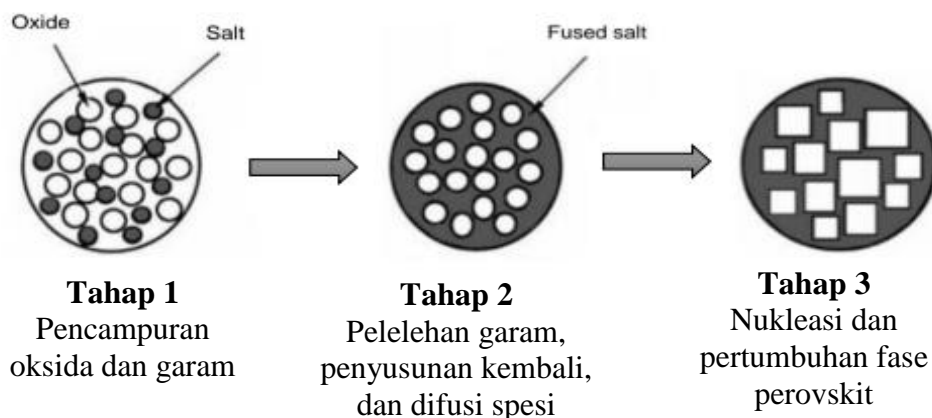
Metode lelehan garam (MSS) adalah salah satu metode preparasi serbuk keramik, yang melibatkan penggunaan lelehan garam sebagai media preparasi. Garam dengan titik leleh rendah ditambahkan ke dalam reaktan dan dipanaskan sampai melebihi titik leleh garam. Lelehan garam ini digunakan sebagai pelarut (Sikalidis, 2011).

MSS merupakan salah satu teknis yang memiliki banyak kelebihan di antaranya, sederhana, ramah lingkungan, ekonomis, serbaguna, suhu pembentukan produk yang rendah, dan partikel produk yang seragam. Metode sintesis lelehan garam ini dapat digunakan untuk membuat nanomaterial berkualitas tinggi karena berbagai sifat yang menguntungkan dari lelehan garam, seperti non-toksisitas, ekonomis, tekanan uap rendah, mudah didapat, kapasitas panas tinggi, jangkauan elektrokimia yang besar, serta konduktivitas ionik tinggi (Mao, dkk., 2007; Mao, dkk., 2009; Zuniga, dkk., 2018; Lou, dkk., 2014; dan Pleckova & Seddon, 2008). MSS telah banyak dilaporkan untuk menyintesis nanomaterial kompleks, seperti logam borida (Gouget, dkk., 2017), nanokomposit berbasis boron (Grosjean, dkk., 2018), grafit (Chen, dkk., 2017), oksida logam 2D (Hu, dkk., 2017), doping ion logam (Peng, dkk., 2016), doping non logam (Jin, dkk., 2015), dan lain-lain.

Pada Gambar 2.14 ditampilkan metode sintesis dengan lelehan garam yang umumnya memiliki tiga tahapan sintesis, yaitu (Gupta dan Mao, 2020):

- a) Pencampuran prekursor dengan garam (misalnya: NaNO_3 , KNO_3 , NaCl dan KCl) atau dengan campuran garam eutektik (misalnya: NaCl-KCl , NaOH-KOH , dan $\text{NaNO}_3\text{-KNO}_3$).

- b) Pemanasan prekursor dengan campuran garam di atas suhu leleh garam untuk membentuk fluks cair. Pada tahap ini, beberapa proses fisik terjadi di dalam lelehan garam, seperti dispersi seragam molekul prekursor, disosiasi, penataan ulang, dan difusi.
- c) Nukleasi dan pertumbuhan partikel produk yang dimulai dengan proses pengendapan larutan. Pertumbuhan partikel mungkin diatur oleh pematangan Ostwald. Partikel yang jauh lebih kecil akan larut ke dalam lelehan garam untuk membentuk partikel yang lebih besar. Suhu dan waktu pemanasan memainkan peran penting dalam mengontrol karakteristik produk akhir. Produk didinginkan dan dicuci menggunakan air untuk menghilangkan garam dari produk, kemudian dikeringkan di dalam oven.



Gambar 2.14 Skema proses sintesis oksida perovskit dengan metode lelehan garam (Xue, dkk., 2018)

Faktor-faktor yang dapat memengaruhi terhadap hasil sintesis senyawa Aurivillius dengan metode lelehan garam, di antaranya (Zhou, dkk., 2007):

- a) Jenis Garam

Jenis garam yang digunakan selama proses sintesis akan memengaruhi terhadap morfologi dan ukuran partikel dari produk yang dihasilkan karena perbedaan

ukuran anion garam dan kelarutan oksida penyusun dalam fluks garam (He, dkk., 2014). Garam yang digunakan harus tidak bereaksi dengan bahan dasar atau produk, larut dalam air agar mudah dipisahkan, dan memiliki titik leleh yang rendah.

b) Suhu Pemanasan

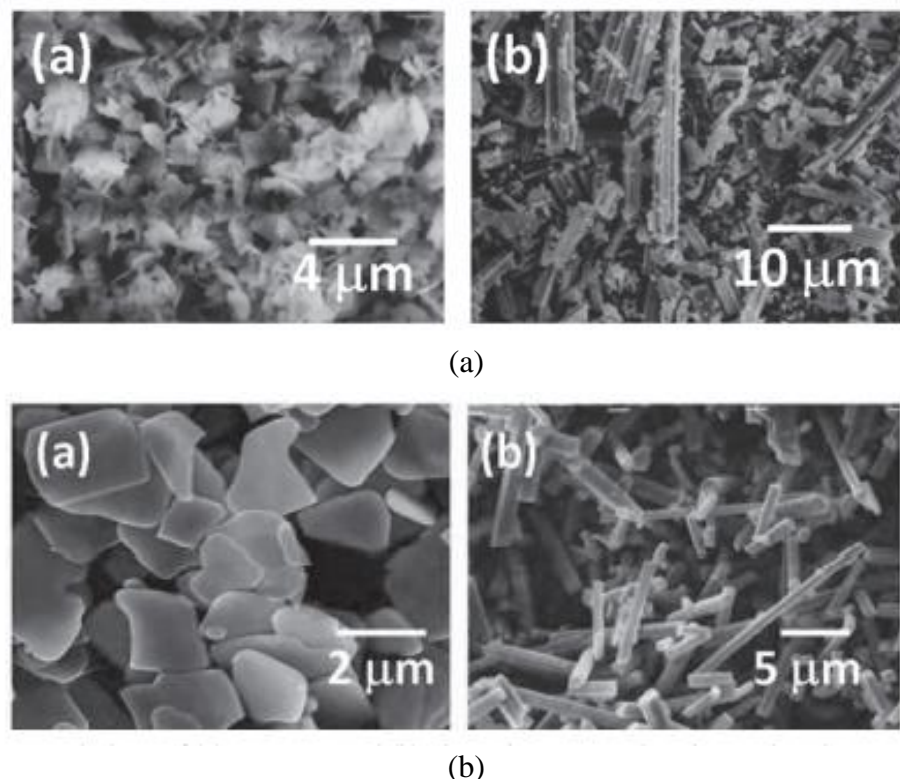
Selain jenis garam, suhu sintering juga berpengaruh terhadap morfologi kristal. Semakin tinggi suhu pemanasan, ukuran kristal yang dihasilkan juga relatif semakin besar. Hal ini disebabkan oleh partikel akan menurunkan energi permukaan pada saat suhu tinggi sehingga kualitas partikel yang terbentuk akan semakin baik.

c) Laju penurunan suhu sintering

Faktor ini sangat memengaruhi ukuran dan morfologi partikel kristal yang dihasilkan sebagai produk akhir. Semakin kecil laju penurunan suhu sintering, ukuran kristal relatif semakin besar. Selain itu, juga memengaruhi terhadap ketebalan dan rasio diameter kristal. Laju penurunan suhu yang lambat akan mencegah pendinginan secara mendadak pada lelehan sehingga mencegah proses nukleasi spontan.

MSS menghasilkan variasi morfologi produk akhir yang berbeda-beda, tergantung pada komposisi kimia dan kondisi reaksi. Pada tahap reaksi dapat diperoleh dua jenis partikel, yaitu produk partikel yang dibentuk oleh proses pelarutan-pengendapan dan pelarutan-difusi. Kimura dan Yamaguchi (1983) melaporkan sintesis $\text{Bi}_4\text{Ti}_3\text{O}_{12}$ dan $\text{KPb}_2\text{Nb}_5\text{O}_{15}$ menggunakan metode lelehan garam dan menghasilkan morfologi partikel $\text{Bi}_4\text{Ti}_3\text{O}_{12}$ dan $\text{KPb}_2\text{Nb}_5\text{O}_{15}$ pada tahap pelarutan-pengendapan masing-masing berbentuk agregat *plate-like* (seperti piring)

dan agregat *needle-like* (seperti jarum). Setelah tahap pelarutan-difusi, bentuk partikel $\text{Bi}_4\text{Ti}_3\text{O}_{12}$ berubah dari agregat *plate-like* menjadi *plate-like* diskrit, sedangkan $\text{KPb}_2\text{Nb}_5\text{O}_{15}$ tidak mengalami perubahan karena permukaan partikelnya memiliki banyak segi sehingga diperlukan rute sintesis yang berbeda. Artinya, morfologi partikel produk yang dihasilkan dipengaruhi oleh komposisi kimia dan juga kondisi reaksi yang diberikan. Morfologi partikel $\text{Bi}_4\text{Ti}_3\text{O}_{12}$ dan $\text{KPb}_2\text{Nb}_5\text{O}_{15}$ dapat dilihat pada Gambar 2.15.



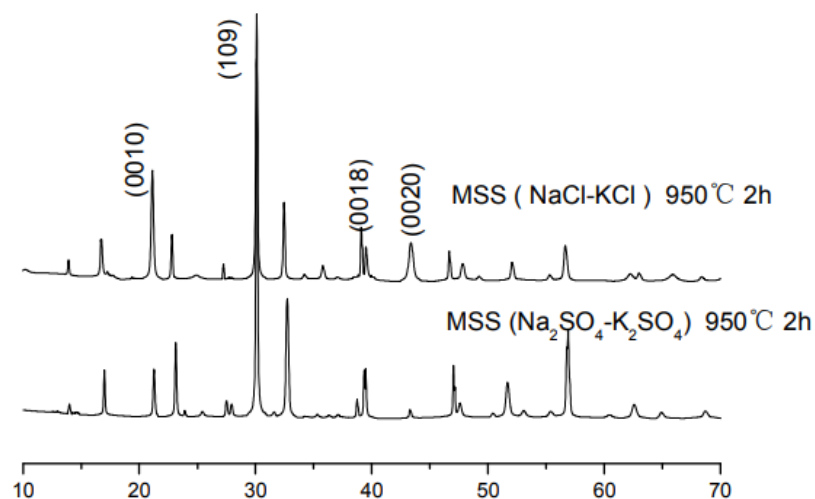
Gambar 2.15 Morfologi partikel $\text{Bi}_4\text{Ti}_3\text{O}_{12}$ dan $\text{KPb}_2\text{Nb}_5\text{O}_{15}$: (a) pelarutan-pengendapan (*reaction stage*), dan (b) pelarutan-difusi (*particle growth stage*) (Kimura dan Yamaguchi, 1983)

2.6 Sintesis Senyawa Aurivillius $\text{BaBi}_4\text{Ti}_4\text{O}_{15}$ (BBT) dengan Metode Lelehan Garam

Metode sintesis lelehan garam merupakan salah satu metode pembuatan serbuk keramik yang melibatkan penggunaan lelehan garam sebagai pelarut dan

media untuk mempersiapkan oksida kompleks. Adapun fungsi lelehan garam dalam sintesis ini ialah untuk (1) meningkatkan laju reaksi dan menurunkan suhu reaksi; (2) meningkatkan derajat homogenitas (distribusi konstituen elemen dalam larutan padat); (3) mengontrol bentuk dan ukuran partikel; dan (4) mengontrol keadaan aglomerasi (Kimura, 2011).

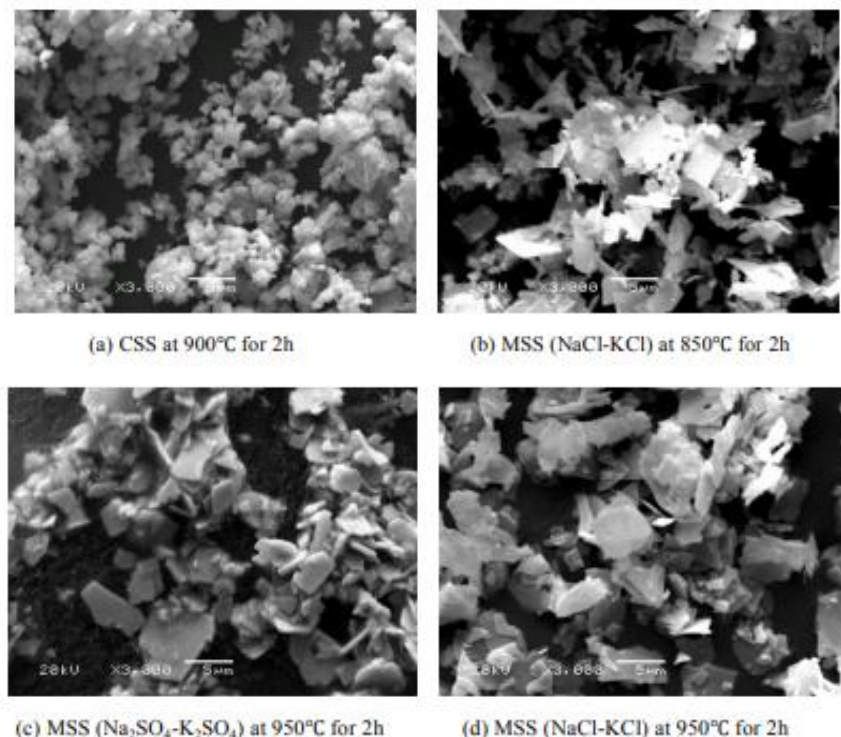
Huang, dkk. (2011) menyintesis senyawa Aurivillius BBT dengan metode lelehan garam fluks NaCl-KCl dan Na₂SO₄-K₂SO₄ masing-masing pada suhu 850°C. Data pola sinar-X (XRD) sampel menunjukkan bahwa senyawa BBT berhasil disintesis dan tidak ditemukan pengotor. Pola difraksi XRD senyawa BBT hasil sintesis dengan metode lelehan garam NaCl-KCl dan Na₂SO₄-K₂SO₄ disajikan pada Gambar 2.16.



Gambar 2.16 Difraktogram senyawa BBT metode lelehan garam fluks NaCl-KCl dan Na₂SO₄-K₂SO₄ (Huang, dkk., 2011)

Gambar SEM senyawa BBT menunjukkan bahwa senyawa BBT yang disintesis dengan MSS mempunyai morfologi berbentuk *flake* atau *plate-like* yang homogen, sedangkan senyawa BBT yang disintesis dengan metode reaksi padat

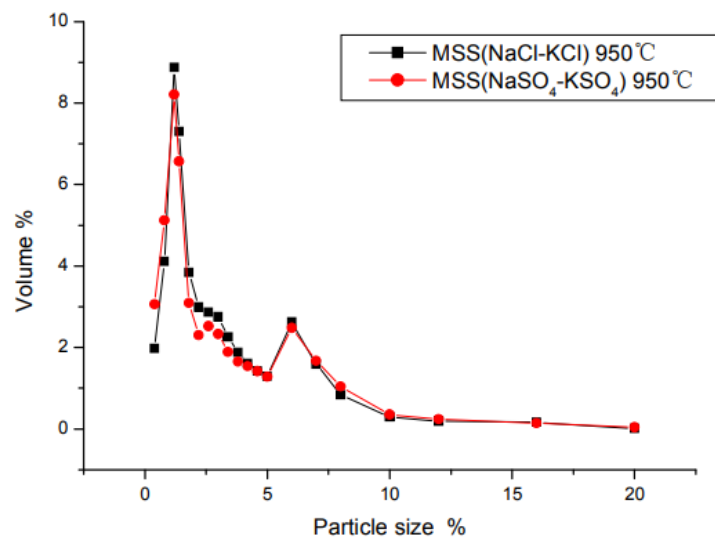
(CSS) memiliki morfologi berbentuk bulat teraglomerasi (Huang, dkk., 2011). Bentuk partikel BBT yang disintesis dengan MSS dan CSS ditampilkan pada Gambar 2.17.



Gambar 2.17 Morfologi partikel BBT dari hasil metode sintesis yang berbeda: (a) CSS pada suhu 900°C/2 jam, (b) MSS (NaCl-KCl) pada suhu 850°C/2 jam, (c) MSS (Na_2SO_4 - K_2SO_4) pada suhu 950°C/2 jam, dan (d) MSS (NaCl-KCl) pada suhu 950°C/2 jam (Huang, dkk., 2011)

Selain metode sintesis, jenis garam yang digunakan dalam metode MSS juga dilaporkan memengaruhi morfologi partikel produk akhir yang dihasilkan. Sintesis BBT dengan media garam klorida menghasilkan morfologi partikel berbentuk *plate-like* dengan ukuran sebesar 4,07 μm , sedangkan BBT yang menggunakan media garam sulfat menghasilkan partikel berbentuk *plate-like* dengan ukuran sebesar 3,98 μm . Hal itu disebabkan oleh perbedaan ukuran anion garam, kelarutan oksida penyusun di dalam media garam, dan laju transportasi massa BBT pada masing-

masing media garam tersebut (Huang, dkk., 2011). Distribusi ukuran partikel BBT metode MSS menggunakan spesi garam yang berbeda ditampilkan pada Gambar 2.18.



Gambar 2.18 Distribusi ukuran partikel BBT metode MSS dengan spesi garam berbeda (Huang, dkk., 2011)

BAB III

METODE PENELITIAN

3.1 Waktu dan Tempat Penelitian

Penelitian ini dilakukan pada Bulan Agustus-September 2021 di Laboratorium Kimia Fisika Edukasi, Program Studi Kimia, Universitas Islam Negeri Maulana Malik Ibrahim Malang.

3.2 Alat dan Bahan

3.2.1 Alat

Alat-alat yang digunakan dalam penelitian ini di antaranya adalah seperangkat alat gelas, *mortar agate*, tanur, neraca analitik, krus alumina, pipet tetes, oven, alumunium foil, *ultrasonic cleaning bath* (Branson Ultrasonics model b3510-MT), XRD (Philips Xpert MPD), seperangkat alat SEM-EDS, dan UV-Vis DRS.

3.2.2 Bahan

Bahan-bahan yang digunakan dalam penelitian ini adalah Bi₂O₃ (Aldrich, serbuk 99,9%), BaCO₃ ((Aldrich, serbuk 99,9%), TiO₂ (Aldrich, serbuk 99,9%), V₂O₅ (Aldrich, serbuk 99,9%), KCl (Aldrich, serbuk 99,9%), AgNO₃ (Aldrich, larutan 2,5%), aseton dan aquades.

3.3. Tahapan Penelitian

Tahapan dalam penelitian ini adalah sebagai berikut:

a. Tahap preparasi sampel

Proses penelitian ini diawali dengan pengadaan bahan dan alat, perhitungan jumlah prekursor, penggilingan (*grinding*) prekursor, serta proses homogenasi.

b. Tahap sintesis BBT dengan metode lelehan garam

Sampel akan dikalsinasi pada suhu di atas titik leleh KCl (760°C) yaitu pada suhu 780 dan 820°C masing-masing selama 8 jam.

c. Tahap karakterisasi

Sampel yang diperoleh akan dikarakterisasi dengan menggunakan (a) XRD untuk mengidentifikasi fasa dan struktur kristal produk, (b) SEM-EDS untuk menentukan morfologi, ukuran partikel, dan komposisi unsur senyawa, dan (c) UV-Vis DRS untuk menghitung energi celah pita.

3.4 Prosedur Kerja

3.4.1 Preparasi Bahan

Sintesis senyawa Aurivillius $\text{BaBi}_4\text{T}_{14-x}\text{V}_x\text{O}_{15}$ ($x= 0; 0,05; 0,1; 0,15$) dengan metode sintesis lelehan garam KCl memiliki target produk sebanyak 3 gram. Setiap prekursor ditimbang sesuai dengan perhitungan stokimetri reaksi yang perhitungannya ditampilkan pada Lampiran 2. Hasil perhitungan kebutuhan prekursor dan garam dirangkum pada Tabel 3.1. Prekursor yang telah disiapkan selanjutnya digerus dalam *mortare agate* selama 1 jam dan ditambahkan aseton untuk menghomogenkan sampel.

Tabel 3.1 Massa tiap-tiap bahan prekursor untuk mendapatkan senyawa $\text{BaBi}_4\text{Ti}_{4-x}\text{V}_x\text{O}_{15}$ ($x = 0; 0,05; 0,1; 0,15$)

| Target senyawa | Massa target (gram) | Massa pereaksi (gram) | | | | |
|---|---------------------|-----------------------|-------------------------|----------------|------------------------|--------|
| | | BaCO_3 | Bi_2O_3 | TiO_2 | V_2O_5 | KCl |
| $\text{BaBi}_4\text{Ti}_4\text{O}_{15}$ | 3 | 0,4215 | 1,9904 | 0,6824 | - | 1,1139 |
| $\text{BaBi}_4\text{Ti}_{3,95}\text{V}_{0,05}\text{O}_{15}$ | 3 | 0,4214 | 1,9902 | 0,6738 | 0,0097 | 1,1138 |
| $\text{BaBi}_4\text{Ti}_{3,9}\text{V}_{0,1}\text{O}_{15}$ | 3 | 0,4130 | 1,9898 | 0,6651 | 0,0195 | 1,1137 |
| $\text{BaBi}_4\text{Ti}_{3,85}\text{V}_{0,15}\text{O}_{15}$ | 3 | 0,4128 | 1,9897 | 0,6565 | 0,0291 | 1,1135 |

3.4.2 Sintesis $\text{BaBi}_4\text{Ti}_{4-x}\text{V}_x\text{O}_{15}$ dengan Metode Lelehan Garam

Sampel yang telah digerus selanjutnya dipindahkan ke krusibel alumina dan dimasukkan ke dalam tanur untuk dikalsinasi pertama pada suhu 780°C selama 8 jam. Setelah itu, dikalsinasi kembali pada 820°C selama 8 jam. Sampel dikeluarkan dari tanur dan didinginkan pada suhu ruang, lalu dicuci dengan air hangat berulang kali untuk menghilangkan garam alkali. Kandungan garam pada produk dapat dianalisis dengan menggunakan tetesan AgNO_3 pada filtrat. Jika terbentuk endapan putih mengindikasikan masih terdapat garam pada filtrat, sehingga pencucian dilanjutkan sampai kadar garam benar-benar hilang. Setelah kadar garam hilang, kemudian produk dioven pada suhu 80°C selama 2 jam.

3.4.3 Karakterisasi Sampel Produk $\text{BaBi}_4\text{Ti}_{4-x}\text{V}_x\text{O}_{15}$

a. Karakterisasi dan Analisis dengan Teknik XRD

Sampel sebanyak kurang lebih 0,5 g ditempatkan pada sampel *holder*. Pengukuran dilakukan pada suhu kamar menggunakan XRD dengan radiasi $\text{Cu K}\alpha$ pada 40 kV dan 15 mA pada rentang $2\theta = 10\text{-}70^\circ$.

b. Karakterisasi dan Analisis dengan Teknik SEM-EDS

Sampel sebanyak 50 mg ditempatkan pada sampel *holder* dan diratakan, kemudian ditempatkan pada instrumen dan dilakukan analisa menggunakan perbesaran 7000 dan 15.000x.

c. Karakterisasi dan Analisis dengan Teknik UV-Vis DRS

Karakterisasi UV-Vis DRS menggunakan spektrometer Thermo Evolution 220. Serbuk sampel yang dikarakterisasi ditempatkan pada sampel *holder*, kemudian diukur reflektansinya pada rentang panjang gelombang 200-800 nm.

3.4.4. Analisis Data

a. Analysis Data XRD

Data yang diperoleh dari karakterisasi menggunakan XRD merupakan pola difraksi sinar-X yang selanjutnya dibandingkan dengan standar BBT yang terdapat pada database *Joint Committee on Powder Diffraction Standards* (JCPDS).

b. Analysis Data SEM-EDS

Data yang diperoleh dari hasil karakterisasi SEM-EDS berupa gambar morfologi, ukuran partikel, dan komposisi unsur-unsur penyusun senyawa BBT. Gambar tersebut diolah menggunakan perangkat lunak *image-J*.

c. Analysis Data UV-Vis DRS

Hasil karakterisasi dengan UV-Vis DRS berupa data reflektansi. Data reflektansi dianalisa menggunakan persamaan Kubelka-Munk yang ditunjukkan pada persamaan 3.1.

$$(F(R)hv) = k(hv - E_g)^n \dots \quad (3.1)$$

Dengan $F(R)$ adalah faktor Kubelka-Munk, k , E_g dan $h\nu$ masing-masing merupakan konstanta proporsionalitas, celah pita dan foton yang datang. Eksponen ‘ n ’ tergantung pada transisi, di mana $n = \frac{1}{2}$, 2 , $\frac{3}{2}$, dan 3 untuk transisi langsung yang diizinkan, tidak langsung yang diizinkan, langsung yang dilarang, dan tidak langsung yang dilarang (Rahmawati, dkk., 2017). Nilai energi celah pita ditentukan dari membuat plot antara energi foton ($h\nu$) (sebagai sumbu x) dan $(F(R).h\nu)^{1/2}$ (sebagai sumbu y). Energi foton ($h\nu$) bisa dihitung dari data panjang gelombang yang terukur, dimana $h\nu = hc/\lambda$ dengan c adalah tetapan cahaya dan h adalah konstanta plank. Energi celah pita dihitung secara regresi linier pada nilai x ($h\nu =$ energi celah pita) ketika $y=0$.

BAB IV

PEMBAHASAN

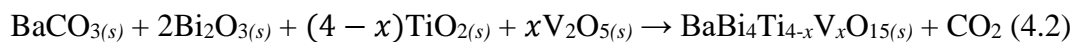
Pada penelitian ini dilakukan sintesis senyawa Aurivillius $\text{BaBi}_4\text{T}_{i4-x}\text{V}_x\text{O}_{15}$ ($x = 0; 0,05; 0,1; 0,15$) yang terdiri dari 3 tahap, di antaranya: (1) sintesis senyawa Aurivillius $\text{BaBi}_4\text{T}_{i4-x}\text{V}_x\text{O}_{15}$ ($x = 0; 0,05; 0,1; 0,15$) dengan menggunakan metode lelehan garam KCl pada suhu pemanasan 780 dan 820°C masing-masing 8 jam, (2) karakterisasi sampel yang diperoleh menggunakan XRD, SEM-EDS, dan UV-Vis DRS, serta (3) analisis senyawa hasil sintesis menggunakan XRD untuk mengidentifikasi fasa dan struktur kristal, SEM-EDS untuk mengetahui morfologi, ukuran partikel, dan komposisi unsur senyawa hasil sintesis, dan UV-Vis DRS untuk menentukan energi celah pita.

4.1 Sintesis Senyawa $\text{BaBi}_4\text{T}_{i4-x}\text{V}_x\text{O}_{15}$ ($x = 0; 0,05; 0,1; 0,15$) dengan Metode Lelehan Garam

Sintesis senyawa $\text{BaBi}_4\text{T}_{i4-x}\text{V}_x\text{O}_{15}$ ($x = 0; 0,05; 0,1; 0,15$) dilakukan dengan metode lelehan garam tunggal KCl. Lelehan garam banyak digunakan sebagai media reaksi kimia yang efektif untuk menghasilkan lingkungan cair bersuhu tinggi untuk pertumbuhan kristal. Fluks ionik garam cair memiliki reaktivitas tinggi terhadap spesi anorganik dan titik leleh yang rendah sehingga dapat dimanfaatkan untuk media sintesis bahan anorganik. Selain itu, diyakini bahwa metode lelehan garam secara efisien dapat menumbuhkan kristal dengan morfologi khusus dengan mengendalikan laju pertumbuhan bidang kristal (Wei, dkk., 2012; Ji, dkk., 2011).

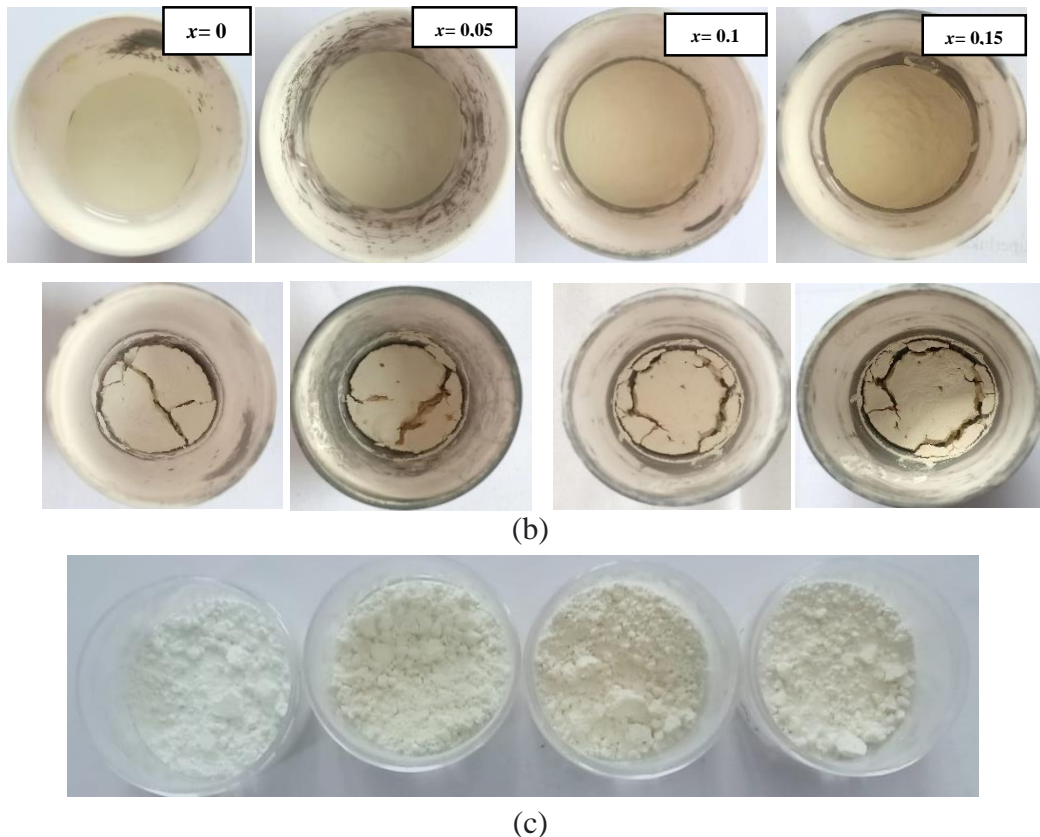
Prekursor digerus selama satu jam dan ditambahkan aseton yang berfungsi sebagai pelarut untuk meningkatkan homogenitas reaksi antar prekursor. Aseton

digunakan karena tidak bereaksi dengan prekursor dan sifatnya yang volatil sehingga mudah hilang dan menguap pada suhu ruang. Selanjutnya, sampel dikalsinasi di atas titik leleh KCl pada suhu 780°C selama 8 jam agar reaksi dapat berlangsung dalam medium garam yang meleleh dan dilanjutkan dengan pemanasan kedua pada suhu 820°C selama 8 jam. Dua kali pemanasan dilakukan agar didapatkan kristal fase tunggal dan morfologi yang seragam (Kim, dkk., 2009). Reaksi yang terjadi dalam sintesis $\text{BaBi}_4\text{Ti}_{4-x}\text{V}_x\text{O}_{15}$ ($x = 0; 0,05; 0,1; 0,15$) ditampilkan pada persamaan 4.1 dan 4.2.



Hasil sintesis $\text{BaBi}_4\text{Ti}_{4-x}\text{V}_x\text{O}_{15}$ ($x = 0; 0,05; 0,1; 0,15$) ditampilkan pada Gambar 4.1, yang menunjukkan perubahan warna dari putih menjadi kekuningan setelah mengalami dua kali kalsinasi dan seiring bertambahnya konsentrasi vanadium (V). Perubahan warna ini mengindikasikan bahwa terjadi reaksi di antara prekursor ketika proses kalsinasi dan terbentuk senyawa baru. Kemudian, dilakukan pencucian dengan menggunakan air panas agar kandungan garam hilang dan diidentifikasi menggunakan larutan AgNO_3 pada air hasil pencucian. Reaksi antara AgNO_3 dengan garam ditampilkan pada persamaan 4.3.





Gambar 4.1 Perubahan warna sampel $\text{BaBi}_4\text{Ti}_{4-x}\text{V}_x\text{O}_{15}$ ($x= 0; 0,05; 0,1; 0,15$): (a) sebelum kalsinasi, (b) setelah dua kali kalsinasi pada suhu 780 dan 820°C, dan (c) setelah pengeringan

4.2 Karakterisasi dan Analisis Sampel $\text{BaBi}_4\text{Ti}_{4-x}\text{V}_x\text{O}_{15}$ ($x= 0; 0,05; 0,1; 0,15$) dengan Teknik XRD

Difraktogram XRD dari sampel $\text{BaBi}_4\text{Ti}_{4-x}\text{V}_x\text{O}_{15}$ ($x= 0; 0,05; 0,1; 0,15$) yang disintesis ditunjukkan pada Gambar 4.2. Pola difraktogram menunjukkan kesesuaian dengan data standar BBT fase tetragonal (*I4/mmm*) JCPDS No. 35-0757. Pada $x= 0; 0,05; 0,1$; dan $0,15$ ditemukan fasa pengotor yang ditunjukkan dengan munculnya puncak pada $2\theta(^{\circ}) = 69,05$ yang diduga berasal dari TiO_2 rutil (JCPDS No. 21-1276), sedangkan untuk $x= 0,15$ ditemukan tambahan fasa pengotor lainnya pada $2\theta(^{\circ}) = 28,5$ yang diduga berasal dari $\text{Bi}_4\text{V}_2\text{O}_{11}$ (JCPDS No. 01-082-1481).

Terbentuknya fasa pengotor pada $\text{BaBi}_4\text{Ti}_{4-x}\text{V}_x\text{O}_{15}$ ($x= 0; 0,05; 0,1; 0,15$) berupa senyawa prekursor TiO_2 mengindikasikan bahwa reaksi belum terjadi sempurna. Sedangkan pada $x= 0,15$ juga terbentuk pengotor $\text{Bi}_4\text{V}_2\text{O}_{11}$ karena gV cenderung membentuk fasa pengotor dengan unsur lainnya ketika kandungannya melebihi batas kelarutan (Kocak, dkk., 2021). Bobic, dkk. (2015) melaporkan fasa pengotor yang terbentuk dari hasil sintesis $\text{BaBi}_4\text{Ti}_{4-x}\text{O}_{15}$ dengan metode keadaan padat, yang diidentifikasi sebagai fasa $\text{Bi}_{12}\text{TiO}_{20}$ pada suhu 650°C dan 750°C , serta BaTiO_3 pada suhu 850°C , sedangkan fasa BBT murni terbentuk pada suhu kalsinasi 950°C . Hal ini mengindikasikan bahwa sintesis BBT rentan terhadap pembentukan fasa sekunder. Posisi doping logam bisa diasumsikan berdasarkan prinsip Hume-Rothery, yang menyatakan bahwa substitusi atom hanya akan terjadi jika perbedaan antara elektronegativitas logam tersubstitusi dan substitusi kurang dari 20% (Hu, dkk., 2016). Kelektronegatifan logam Ti dan V masing-masing adalah 1,5 dan 1,6 sehingga diasumsikan bahwa doping V ke dalam BBT berada pada posisi substitusi atom Ti.

Pergeseran puncak pada $2\theta(^{\circ}) = 30,1886$ ditampilkan pada Gambar 4.3 yang menunjukkan pergeseran ke posisi 2θ yang lebih besar. Hal ini mengindikasi terjadinya perubahan kerangka dan adanya perubahan *crystallite size* (dengan Persamaan Scherrer) pada BBT akibat pendopingan V^{5+} yang memiliki jari-jari lebih kecil daripada Ti^{4+} . Pada $x= 0,05$ dan $0,15$ terjadi pergeseran ke 2θ yang lebih kecil dibandingkan dengan $x= 0$ yang disebabkan oleh kemungkinan dopan V tereduksi dari V^{5+} ke V^{4+} ($0,53 \text{ nm}$) atau V^{3+} ($0,64 \text{ nm}$) yang memiliki jari-jari lebih besar dibandingkan Ti^{4+} ($0,51 \text{ nm}$). Seperti yang telah dilaporkan oleh Aini, dkk.

(2018) yang menunjukkan bahwa posisi puncak difraksi TiO_2 terdoping V^{3+} bergeser ke nilai yang lebih rendah dibandingkan TiO_2 murni.

Pergeseran posisi puncak difraksi ke nilai yang lebih besar juga disebabkan oleh penurunan distorsi ortorombik akibat perpindahan pusat kationik dan penyesuaian kemiringan oktahedron oksigen untuk mencapai keseimbangan baru karena substitusi Ti^{4+} oleh V^{5+} (1,6) yang memiliki nilai keelektronegatifan lebih besar dibandingkan Ti^{4+} (1,5) (Chen, dkk., 2018). Ramana, dkk (2017) melaporkan BTO terdoping Sm^{3+} dan V^{5+} masing-masing pada Bi^{3+} dan Ti^{4+} yang menunjukkan penambahan Sm dan V menyebabkan penurunan ortorombisitas sebesar 0,0032 dari 0,0066.

4.3 Karakterisasi dan Analisis Sampel $\text{BaBi}_4\text{Ti}_{4-x}\text{V}_x\text{O}_{15}$ ($x= 0; 0,05; 0,1; 0,15$) dengan Teknik SEM-EDS

Morfologi yang terbentuk menunjukkan morfologi khas Aurivillius berbentuk *plate-like*. Partikel *plate-like* terbentuk melalui dua tahap yang ditampilkan pada Gambar 4.5, yaitu tahap reaksi dan tahap pertumbuhan partikel. Pada tahap reaksi, partikel reaktan saling bereaksi dalam lelehan garam untuk membentuk inti partikel produk yang disebut nukleasi. Selanjutnya adalah tahap pertumbuhan partikel di mana inti kristal bereaksi membentuk matriks yang lebih besar (Li, dkk., 2016; Zhao, dkk., 2014).

Pembentukan fasa pengotor berupa TiO_2 rutil pada sampel $\text{BaBi}_4\text{Ti}_{4-x}\text{V}_x\text{O}_{15}$ ($x= 0; 0,05; 0,1; 0,15$) karena perbedaan laju difusi prekursor dalam lelehan garam juga memengaruhi terhadap morfologi partikel. TiO_2 lebih sukar larut dibandingkan prekursor lainnya sehingga berperan sebagai salah satu sumber nukleasi (nukleasi sekunder). Sedangkan prekursor yang lebih larut akan berdifusi ke permukaan

prekursor yang kurang larut dan bereaksi untuk membentuk produk target dan dihasilkan morfologi anisotropik dengan bentuk *plate-like* yang lebih mendominasi (McGinty, dkk., 2020; Austin, dkk., 2021). Karakter morfologi *plate-like* semakin baik dengan bertambahnya konsentrasi dopan V. Kim, dkk. (2007) melaporkan bahwa dengan bertambahnya konsentrasi dopan V pada $\text{Bi}_4\text{Ti}_3\text{O}_{12}$ meningkatkan pertumbuhan kristal berorientasi sumbu *c*, di mana morfologi *plate-like* mengalami pertumbuhan pada orientasi sumbu ini.

Hasil analisis data SEM dengan *Image-J* menunjukkan distribusi ukuran rata-rata partikel senyawa $\text{BaBi}_4\text{Ti}_{4-x}\text{V}_x\text{O}_{15}$ ($x= 0; 0,05; 0,1; 0,15$) yang dirangkum pada Tabel 4.1. Penurunan ukuran partikel ini dapat disebabkan oleh substitusi kation V^{5+} dalam material BBT yang memiliki jari-jari lebih kecil dibandingkan Ti^{4+} . Penambahan ion V juga memiliki pengaruh destruktif yang menyebabkan terbentuknya butiran partikel yang jauh lebih kecil (Moulson dan Herbert, 1990; Stanuch, 2014). Ukuran rata-rata partikel juga semakin mengalami penurunan dengan bertambahnya konsentrasi dopan V. Hal ini mengindikasikan bahwa semakin banyak ion V yang berhasil disubstitusikan pada material BBT. Tang, dkk. (2006) berhasil menyintesis senyawa $\text{Bi}_4\text{Ti}_{3-x}\text{V}_x\text{O}_{12}$ dan menunjukkan penurunan ukuran partikel secara bertahap dengan peningkatan nilai x dan distribusi ukuran partikel yang lebih seragam dalam sampel dengan nilai x yang lebih besar.

Data EDS yang diperoleh dirangkum pada Tabel 4.2 menunjukkan persentase massa dari unsur-unsur penyusun dalam sampel yang terdiri dari unsur Barium (Ba), Bismut (Bi), Titanium (Ti), Vanadium (V) dan Oksigen (O). Hasil ini mengindikasikan pendopingan logam V pada material $\text{BaBi}_4\text{Ti}_{4-x}\text{V}_x\text{O}_{15}$ ($x= 0; 0,05; 0,1; 0,15$) telah berhasil dilakukan. Persentase V yang diperoleh dari analisis EDS

semakin bertambah dengan peningkatan nilai x yang mengindikasikan semakin banyak substitusi ion V dalam sampel. Namun, persentase Ti tidak sesuai dengan teoritis menunjukkan bahwa sampel tidak homogen karena adanya pengotor TiO_2 dan $\text{Bi}_4\text{V}_2\text{O}_{11}$.

4.4 Karakterisasi dan Analisis Sampel $\text{BaBi}_4\text{Ti}_{4-x}\text{V}_x\text{O}_{15}$ ($x= 0; 0,05; 0,1; 0,15$) dengan Teknik UV-Vis DRS

Analisis UV-Vis DRS bertujuan untuk menghitung besarnya energi celah pita dan pengaruh variasi penambahan doping V pada material $\text{BaBi}_4\text{Ti}_4\text{O}_{15}$ terhadap karakter serapan sinar di daerah sinar UV maupun tampak. Pengukuran nilai intesitas % reflektansi dari material $\text{BaBi}_{4-x}\text{V}_x\text{O}_{15}$ ($x= 0; 0,05; 0,1; 0,15$) sebagai fungsi panjang gelombang untuk semua sampel ditampilkan pada Gambar 4.6.

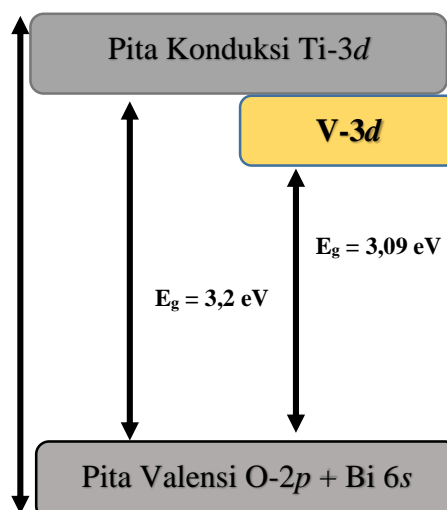
Intensitas %reflektansi untuk sampel semakin berkurang seiring bertambahnya konsentrasi V karena tepi penyerapan sinar menuju panjang gelombang yang lebih panjang yang disebabkan oleh substitusi Ti oleh V dengan membentuk tingkat energi baru $\text{V}-3d$ di bawah $\text{Ti}-3d$ pada CB. Muatan positif ion V^{5+} yang lebih besar dan jari-jari yang lebih kecil daripada ion Ti^{4+} menyebabkan efek polarisasi yang kuat terhadap O. Kedua faktor di atas mengakibatkan perluasan penyerapan BBVT ke wilayah cahaya tampa k (Wang dan Xu, 2017). Selain itu, penurunan ukuran partikel juga berpengaruh terhadap penurunan intensitas %reflektansi. Semakin kecil ukuran partikel, maka semakin besar efek polarisasi sebagai akibat peningkatan kemampuan absorbansi cahaya oleh partikel yang berukuran Ipebih kecil (Guler dan Turan, 2010; Peng, dkk., 2010).

Seperti yang ditampilkan pada Gambar 4.7, celah pita BBT adalah sekitar 3,2 eV dan mengalami penurunan setelah mengalami pendopingan. Penurunan energi celah pita semakin besar dengan bertambahnya konsentrasi pendopingan V sehingga menyebabkan pergeseran merah (*redshift*). Penurunan energi celah pita optimum terjadi pada $\text{BaBi}_4\text{Ti}_{4-x}\text{V}_x\text{O}_{15}$ ($x= 0,1$) dengan panjang gelombang 401,56 nm. Hasil tersebut mengindikasikan fotokatalis BBVT memiliki respon cahaya yang lebih mendekati wilayah tampak dan memberikan aktivitas fotokatalik yang lebih baik. Penurunan energi celah pita akibat pendopingan V pada material $\text{Bi}_4\text{Ti}_{3-x}\text{V}_x\text{O}_{12}$ ($x= 0,05; 0,1; 0,15; 0,2$) juga dilaporkan dalam penelitian Handayani, dkk. (2019), yang menunjukkan penurunan energi celah semakin besar dengan bertambahnya konsentrasi dopan V ke dalam senyawa tersebut pada rentang 3,0-2,7 eV dan akibatnya fungsi kerja sampel bergeser ke rentang cahaya tampak (sekitar 430 nm). Oleh karena itu, penurunan celah pita dapat dikaitkan dengan efek variasi doping V pada BBT. Energi celah pita senyawa $\text{BaBi}_4\text{Ti}_{4-x}\text{V}_x\text{O}_{15}$ ($x= 0; 0,05; 0,1; 0,15$) dirangkum pada Tabel 4.3.

Penurunan energi celah pita disebabkan substitusi V pada atom Ti pada material BBT yang menyebabkan renormalisasi struktur pita elektronik dan energi celah pita. Dalam kasus BBT, struktur pita umumnya terdiri dari orbital Bi- $6s + \text{O}-2p$ di pita valensi dan Ti- $3d$ di pita konduksi. Dengan adanya substitusi V yang lebih elektronegatif daripada Ti, maka akan terbentuk keadaan interstisial oleh orbital V- $3d$ yang letaknya di bagian bawah pita konduksi Ti $3d$. Keadaan interstisial yang dibentuk oleh V- $3d$ sekitar $0,1\sim0,3$ eV di bawah Ti- $3d$ (Zhu, dkk., 2020). Sun, dkk., (2017) melaporkan nilai *density of state* (DOS) dari Ti^{4+} yang disubstitusi V^{5+} menunjukkan bahwa V^{5+} merupakan atom donor yang memberikan valensi tingkat

donor 0,12 eV di bawah pita konduksi. Hal ini sesuai dengan penelitian ini yang menunjukkan penurunan celah pita dari 3,2 eV ke 3,09 eV akibat substitusi dopan V^{5+} terhadap Ti^{4+} . Oleh karena itu, terjadi kemungkinan perubahan transisi elektronik dari orbital Bi- $6s$ + O- $2p$ (VB) ke Ti- $3d$ (CB) menjadi orbital Bi- $6s$ + O- $2p$ (VB) ke V- $3d$ (CB) dengan nilai energi celah pita yang lebih rendah dibandingkan dalam keadaan murninya. Ilustrasi transisi elektronik dari senyawa $BaBi_4Ti_{4-x}V_xO_{15}$ ($x= 0; 0,05; 0,1; 0,15$) ditampilkan pada Gambar 4.8.

Potensial (eV) Vs NHE



Gambar 4.8 Ilustrasi perubahan transisi elektronik dari senyawa $BaBi_4Ti_{4-x}V_xO_{15}$ ($x= 0; 0,05; 0,1; 0,15$)

Penurunan energi celah pita ini juga dikaitkan dengan perubahan urutan ikatan antara ion logam dopan dan ion oksida. Celah pita berkurang dengan meningkatnya orde ikatan antara ion dopan dan ion oksida, interaksi antara orbital V- $3d$ dan O- $2p$ menjadi lebih kuat yang disebabkan oleh jari-jari dopan lebih kecil dibandingkan dengan ion yang tersubstitusi. Dopan V dalam material BBT akan berinteraksi dengan enam O membentuk simetris lokal D_{2d} . Dengan demikian, transisi elektron terjadi dari VB ke tingkat energi t_{2g} V di bawah CB (Tian dan Li, 2009; Nagaveni,

dkk., 2004). Pendopingan logam transisi V juga dapat menurunkan laju rekombinasi yang disebabkan oleh peningkatan delokalisasi dan mobilitas elektron, serta pembentukan OH yang berperan sebagai perangkap elektron (Huda dan Turner, 2010; Brahlek, dkk., 2017; Jiang, dkk., 2021). Oleh karena itu, pendopingan V sangat efektif dalam meningkatkan aktivitas fotokatalitik material fotokatalis BBT.

4.5 Sintesis Material Fotokatalis BaBi₄Ti_{4-x}V_xO₁₅ ($x= 0; 0,05; 0,1; 0,15$) dalam Prespektif Islam

Allah senantiasa menginginkan manusia untuk mewakili-Nya dalam melaksanakan kehendak dan ketetapan-Nya sebagai bentuk ujian sekaligus penghormatan terhadap manusia (Shihab, 2012). Salah satu bentuk tugas yang diberikan ialah memelihara dan menjaga keseimbangan dan keselarasan alam, serta bertanggung jawab dalam menjaga keberlangsungan fungsi bumi sebagai tempat kehidupan makhluk. Bentuk tugas ini telah termaktub di dalam al-Quran Surat al-Mulk ayat 3 sebagai berikut:

الَّذِي خَلَقَ سَبْعَ سَمَاوَاتٍ طِبَابًا مَا تَرَى فِي خَلْقِ الرَّحْمَنِ مِنْ تَفْوِيتٍ فَارِجٌ الْبَصَرُ هَلْ تَرَى مِنْ فُطُورٍ (٣)

Artinya: “Yang menciptakan tujuh langit berlapis-lapis. Tidak akan kamu lihat sesuatu yang tidak seimbang pada ciptaan Tuhan Yang Maha Pengasih. Maka lihatlah sekali lagi, adakah kamu lihat sesuatu yang cacat?” (QS. al-Mulk: 3).

Allah SWT memerintahkan manusia untuk memperhatikan keseimbangan alam dan menegaskan bahwa Allah menciptakan makhuk-Nya tanpa cacat sedikitpun. Keberadaan alam telah diciptakan dengan keserasian dan keselarasan yang sempurna sehingga dapat berjalan sesuai tujuan penciptaannya (Shihab, 2001).

Ekotologi Islam juga meyakini bahwa pelestarian alam termasuk sistem keberimanannya sesorang. Sumber daya alam dan lingkungan yang diciptakan oleh Allah merupakan fasilitas daya dukung bagi kehidupan manusia sehingga harus dipertahankan dan dilestarikan (Mujiono, 2001). Oleh sebab di atas, manusia dilarang melakukan hal yang dapat membahayakan dan mempersulit makhluk lain. Allah SWT menyatakan secara implisit akan kepedulian-Nya terhadap pelestarian alam yang diungkapkan dalam al-Quran Surat al-Luqman ayat 20:

أَلَمْ تَرُوا أَنَّ اللَّهَ سَحَّرَ لَكُمْ مَا فِي السَّمَاوَاتِ وَمَا فِي الْأَرْضِ وَأَسْبَغَ عَلَيْكُمْ نِعْمَةً، ظَهِيرَةً وَبَاطِنَةً وَمِنْ النَّاسِ مَنْ يُجْدِلُ فِي اللَّهِ بِغَيْرِ عِلْمٍ وَلَا هُدًى وَلَا كِتْبٍ مُّنِيرٍ ﴿٢٠﴾

Artinya: “*Tidakkah kamu perhatikan sesungguhnya Allah telah menundukkan untuk (kepentingan) mu apa yang ada di langit dan apa yang ada di bumi dan menyempurnakan ukntukmu nikmat-Nya lahir dan batin. Dan di antara manusai yang membantah tentang (keesaan) Allah tanpa ilmu pengetahuan atau petunjuk dan tanpa Kitab yang memberi penerangan*” (QS. al-Luqman: 20).

Hampir semua aktivitas manusia, seperti kegiatan industri dan aktivitas rumah tangga dapat menghasilkan limbah cair yang memberikan dampak kerusakan pada ekosistem air, sehingga diperlukan strategi untuk menanggulangi masalah ini. Dalam penelitian ini, dilakukan sintesis material BBT sebagai fotokatalis yang efektif dalam mendegradasi limbah cair yang berbahaya bagi biota air. Dengan adanya fotokatalis, senyawa-senyawa tersebut akan didegradasi menjadi senyawa yang lebih aman jika dibuang ke lingkungan sehingga tidak akan membahayakan ekosistem air. Pemanfaatan senyawa BBT sebagai fotokatalis merupakan hasil proses berpikir manusia dalam menjaga kesejahteraan hidup, mengutamakan *istishlah* (kemaslahatan umum), serta memiliki kesadaran dan kepedulian terhadap

lingkungan yang cukup tinggi dengan menciptakan ilmu pengetahuan dan teknologi yang kondusif bagi pelestarian lingkungan (*The objective of environment*).

Pada penelitian ini, dilakukan pendopingan logam vanadium pada material BBT untuk menurunkan energi celah pita, yang diharapkan dapat meningkatkan aktivitas fotokatalitik di wilayah tampak dan memaksimalkan pemanfaatan sinar matahari sebagai sumber energi dalam aktivitas fotokatalitik. Pemanfaatan sinar matahari sebagai sumber energi dalam aktivitas fotokatalitik material BBT merupakan karunia Allah yang telah menyediakan segalanya di alam agar dapat dimanfaatkan oleh manusia, bahkan di dalam al-Quran terdapat surat as-Syam yang secara khusus menyebut matahari, di mana pada awal surat ini Allah SWT menjadikan matahari sebagai sumpahnya. Abdullah (2015) berpendapat segala hal yang berkaitan dengan sumpah Allah merupakan sesuatu yang tidak biasa, terdapat suatu anugerah luar biasa yang berhubungan dengan kemaslahatan umat. al-Quran juga mendeskripsikan matahari sebagai *siraj* (pelita), yaitu sesuatu yang memiliki panas dan bisa menyinari. Allah SWT berfirman dalam al-Quran Surat an-Naba' ayat 13:

وَجَعَلْنَا سِرَاجًا وَهَا بَيْنَ (١٣)

Artinya: “*dan Kami menjadikan pelita yang terang-benderang (matahari)*” (QS. an-Naba':13).

Penafsiran ayat di atas oleh Sayyid Quthb (2007), yaitu matahari menyinari dan menimbulkan rasa panas untuk kehidupan di bumi serta makhluk-makhluk yang tinggal di dalamnya. Matahari memiliki energi yang begitu besar dan menjadikannya begitu istimewa sehingga banyak manfaatnya, salah satunya ialah

sebagai sumber energi dalam aktivitas fotokatalisis dalam mendegradasi limbah cair.

Perkembangan ilmu teknologi dalam bidang fotokatalis yang di dalamnya memiliki tujuan dan manfaat yang baik, pengaplikasiannya dapat dimanfaatkan dan akan terus dikembangkan oleh orang lain. Oleh karena itu, sebagai kimiawan mempelajari dan memanfaatkan berbagai senyawa kimia seperti barium (Ba), bismut (Bi), titanium (Ti), vanadium (V), dan Oksigen (O) dalam pembuatan fotokatalis ini akan menjadi amal jariyah dan ilmu bermanfaat bagi si pembuatnya, sama seperti orang yang memanfaatkan fotokatalis tersebut. Tidak ada yang buruk selama kita tetap berada dalam jalur yang sesuai dengan tuntunan agama, meskipun ranahnya ialah sains dan teknologi.

BAB V

PENUTUP

5.1 Kesimpulan

Berdasarkan hasil penelitian yang telah dilakukan, maka dapat disimpulkan bahwa material fotokatalis $\text{BaBi}_4\text{T}_{i4-x}\text{V}_x\text{O}_{15}$ ($x= 0; 0,05; 0,1; 0,15$) berhasil disintesis dengan metode lelehan garam tunggal KCl. $\text{BaBi}_4\text{T}_{i4-x}\text{V}_x\text{O}_{15}$ memiliki fasa tetragonal dan grup ruang $I4/mmm$. Namun, ditemukan pengotor TiO_2 rutil pada $x= 0; 0,05; 0,1$; dan $0,15$ dan $\text{Bi}_4\text{V}_2\text{O}_{11}$ pada $x= 0,15$. Hasil SEM-EDS menunjukkan morfologi khas berbentuk *plate-like* yang cenderung terbentuk aglomerasi dengan unsur penyusun Ba, Bi, Ti, V, dan O. Sedangkan, hasil UV-Vis DRS menunjukkan energi celah pita $\text{BaBi}_4\text{T}_{i4-x}\text{V}_x\text{O}_{15}$ ($x= 0; 0,05; 0,1; 0,15$) masing-masing 3,20 eV (387,76 nm); 3,10 eV (400,27 nm); 3,09 eV (401,56 nm); dan 3,09 eV (401,56 nm). Hal ini menunjukkan bahwa doping V efektif dalam menurunkan energi celah pita dan memberikan respon cahaya yang lebih mendekati wilayah tampak, sehingga memberikan aktivitas fotokatalitik yang lebih baik.

5.2 Saran

Sebaiknya perlu dilakukan pengulangan sintesis agar didapat material fasa tunggal $\text{BaBi}_4\text{T}_{i4-x}\text{V}_x\text{O}_{15}$ ($x= 0; 0,05; 0,1; 0,15$) serta dilakukan uji lanjutan menggunakan teknik spektroskopi fotoluminensi untuk mengetahui laju rekombinasi. Selain itu, juga perlu dilakukan uji fotokatalitik terhadap limbah cair untuk mengetahui kemampuan aktivitas fotokatalitik dari material $\text{BaBi}_4\text{T}_{i4-x}\text{V}_x\text{O}_{15}$.

DAFTAR PUSTAKA

- Abdullah, Rahmat. 2015. *Benarkah Matahari Mengelilingi Bumi?*. Jakarta: Erlangga.
- Agustina, Khawiyatur Riv'ah., Suheriyanto, Dwi., dan Prasetyo, Anton. 2020. The Molten Salt Synthesis of Vanadium Doped $\text{Bi}_4\text{Ti}_3\text{O}_{12}$ Using Single Salt NaCl. *Jurnal Kartika Kimia*, 3(1): 19-24.
- Alfaro, S. Obregon., Cruz, Martinez-de la A., Torres-Martinez, Leticia M., dan Lee, S. W. 2010. Remove of Marine Plankton by Photocatalysts with Aurivillius-Type Structure. *Catalysis Communications*, 11(5): 326-330.
- Aini, Nur., Ningsih, Ruspa., Maulina, Desy., Lami', F. F., dan Chasanah, S. N. 2018. Visible Light Driven Photocatalyst of Vanadium (V^{3+}) Doped TiO_2 Synthesized Using Sonochemical Method. *IOP Conference Series: Materials Science and Engineering*, 333(1): 1-5.
- Almeida, Priscila Masquetto Vieira de., Gozzo, Fabio Cesar., Thaines, E. H. N. S., Sales, A. J. M., Freatas, R. G., Terezo, Ailton J., Sombra, A. Sergio B., dan Costa, Miguel Mauro. 2018. Dielectric Relaxation Study of The Ceramic Matrix $\text{BaBi}_4\text{Ti}_4\text{O}_{15}:\text{Bi}_2\text{O}_3$. *Material Chemistry and Physics*, 205: 72-83.
- Aurivillius, B. 1949. Mixed Bismuth Oxides With Layer Lattices: I The Structure Type of $\text{Bi}_4\text{Ti}_3\text{O}_{12}$. *Arkiv Kemi Band*, 1(54): 463-480.
- Austin, Daniel A., Cole, M., Stennet, Martin. C., dan Corkhil, C. L. 2021. A Preliminary Investigation of The Molten Salt Mediated Synthesis of Gd_2TiO_5 'Stuffed' Pyrochlore. *MRS Advances*, 6(8): 149-153.
- Bantawal, Harsha., Shenoy, U. Sandhya., dan Bhat, Denthaje Krishna. 2020. Vanadium-Doped SrTiO_3 Nanocubes: Insight into Role of Vanadium in Improving The Photocatalytic Activity. *Applied Surface Science*, 513: 1-7.
- Bobic, J. D., Petrovic, M. M. Vijotovic., Ilic, Nikola., Palaimiene, Edita., Grigalaitis, Robertas., Paiva-Santos, Co., Cilence, M., dan Stojanovic, B. D. 2015. Lead-free $\text{BaBi}_4\text{Ti}_4\text{O}_{15}$ Ceramics: Effect of Synthesis Methods on Phase Formation and Electrical Properties. *Ceramic International*, 41(1): 309-316.
- Brahlek, Matthew., Zhang, Lei., Lapano, Jason., Zhang., Hai-Tian., Engel-Herbert, Roman., Shukla, Nikhil., Datta, Suman., Paik, Hanjong., dan Schlam., Darrel G. 2017. Opportunities in Vanadium-Based Strongly Corralted Electron System. *MRS Communications*, 7(1): 1-26.

- Chakrabakti, Arundhati., Bera, Japes., dan Sinha, Tripurari Prasad. 2009. Dielectric Properties of BaBi₄Ti₄O₁₅ Ceramics Produced by Cost-Effective Chemical Method. *Physic B*, 404(8): 1498-1502.
- Chen, Yu., Xu, Jiageng., Xie, Shaoxiong., Tan, Zhi., Nie, Rui., Guan, Zhongwei., Zhu, Jianguo. 2018. Ion Doping Effects on The Lattice Distortion and Interlayer Mismatch of Aurivillius-Type Bismuth Titanate Compounds. *Materials*, 11(5): 821-835.
- Chen, Zhigang., Gu, Yuxing., Hu, Liangyou., Xiao, Wei., Mao, Xuhui., Zhu, Hua., dan Wang, Dihua. 2017. Synthesis of Nanostructured Graphite via Molten Salt Reduction of CO₂ and SO₂ at Relatively Low Temperature. *Journal of Materials Chemistry A*, 5: 20603-20607.
- Daghrir, Rimeh., Drogui, Patrick., dan Robert, Didier. 2013. Modified TiO₂ for Environmental Photocatalytic Applications: A Review. *International Engineering Chemistry Research*, 52(10): 3581-3599.
- Ferreira, Wellington Castro., Rodrigues, Gelson Luiz Clemente., Araujo, Bruno Soasa., Aguiar, Francisco Andre Andrade., Silva, Ariel Nonato Almeida de Abreu., Fechine, Pierre Basilio Almeida., Paschoal, Carlos William de Araujo., dan Ayala, Alejandro Pedro. 2020. Pressure Induced Structural Phase Transition in The Multiferroic Four-Layer Aurivillius Ceramic Bi₅FeTi₃O₁₅. *Ceramics Internationals*, 46:18056-18062.
- Ganguly, Priyanka., Byrne, C., Breen, A., dan Pillai, S. C. 2018. Antimicrobial Activity of Photocatalysts: Fundamentals, Mechanisms, Kinetics and Recent Advances. *Applied Catalysis B: Environmental*, 225: 51-75.
- Gouget, Guillaume., Debacker, Damien P., Ara, Kim., Giorgia, Olivieri., Jean-Jacques, Gallet., dan Fabrice, Bournel. 2017. In Situ Solid Gas Reactivity of Nanoscaled Metal Borides from Molten Salt Synthesis. *Inorganic Chemistry*, 56(15): 9225-9234.
- Grosjean, Remi., Yanh, Le Godec., Simon, Delacroix., Gouget, Guillaume., Patricia, Beaunier., Ersen, Ovidiu., Ihiwakrim, Dris., Kurakevych, Oleksandr O., Caneac, Corrine., dan Portehault, David. 2018. A High Pressure Pathway Toward Boron-Based Nanostructure Solids. *Dalton Transaction*, 47(23): 7634-7639.
- Gu, Daguo., Qin, Yingying., Wen, Yongchun., Li, Tie., Qin, Lin., dan Seo, Hyo Jin. 2016. Electronic Structure and Optical Properties of V-Doped Bi₄Ti₃O₁₂ Nanoparticles. *Journal of Alloys and Compounds*, 695: 2224-2231.
- Guler, Urcan., dan Turan, Rasit. 2010. Effect of Particle Properties and Light Polarization on The Plasmonic Resonance in Metallic Nanoparticles. *Optic Express*, 18(16):17322-17338.

- Gupta, Santosh K., dan Mao, Yuanbing. 2020. A Review on Molten Salt Synthesis of Metal Oxide Nanomaterials: Status, Opportunity, and Challenge. *Progress in Materials Science*, 117: 1-41.
- Handayani, R. Safitri, Noriana., Aini, Nur., Hardian, Arie., dan Prasetyo, Anton. 2019. Synthesis and Characterization on Vanadium Doped $\text{Bi}_4\text{Ti}_3\text{O}_{12}$ as Photocatalyst Material. *International Conference on Advanced Materials for Better Future*, 578: 012-017.
- He, Hongquan., Yin, Jiao., Li, Yingxuan., Zhang, Ying., Qiu, Hengshan., Xu, Tao., dan Wang, Chuanyi. 2014. Applied Catalysis B: Environmental Size Controllable Synthesis of Single Crystal Ferroelectric $\text{Bi}_4\text{Ti}_3\text{O}_{12}$ Nanosheet Dominated with {001} Facets Toward Enhanced Visible Light Driven Photocatalytic Activities. *Applied Catalysis B: Environmental*, 156–157: 35–43.
- Hou, Jungang., Cao, Rui., Wang, Zheng., Jiao, Shuqiang., dan Zhu, Hongmin. 2011. Chromium-Doped Bismuth Titanate Nanosheets as Enhanced Visible-Light Photocatalyst with A High Percentage of Reactive {110} Facets. *Journal Material Chemistry*, 21(20): 7296-7301.
- Hu, Qianqian., Huang, Jiquan., Li, Guojing., Jiang, Yabin., Lan, Hai., Guo, Wang., dan Cao, Yongge. 2016. Origin of The Improved Photocatalytic Activity of Cu Incorporated TiO_2 for Hydrogen Generation from Water. *Applied Surface Science*, 382: 170-177.
- Hu, Zhimi., Xiao, Xu., Jin, Huanyu., Li, Tianqi., Chen, Ming., Liang, Zhun., Guo, Zhengfeng., Li, Jia., Wan, Jun., Huang, Liang., Zhang, Yanrong., Feng, Guang., dan Zhuo, Jun . 2017. Rapid Mass Production of Two Dimensional Metal Oxides and Hydroxides via The Molten Salts Method. *Nature Communications*, 8(1): 15630-15638.
- Huang, Jinliang., Lihua, Li., Gu, Yongjun., dan Li, Qian Li. 2011. Influences of Progressing Parameters on Flake $\text{BaBi}_4\text{Ti}_4\text{O}_{15}$ Powder Synthesized by Molten Salt Synthesis Method. *Advanced Materials Research*, 335-336: 704-707.
- Huda., Muhammad N. dan Turner, John A. 2010. Morphology-Dependent Optical Absorption and Conduction Properties of Photoelectrochemical Photocatalysts for H_2 Production: A Case Study. *Journal of Applied Physics*, 107(12): 123703(1)-12370(5).
- Hushur, Anwar., Ko, Jae-Hyeon., Kojima, Seiji., Lee, Sang Seob., dan Jang, Min-Su. 2002. Raman Scattering Study of A and B-Site Substitutions in Ferroelectric $\text{Bi}_4\text{Ti}_3\text{O}_{12}$. *Journal of The Korean Physical Society*, 41(5): 763-768.
- Ji, Guangbin., Lin, Xiaohui., Sun, Yanyan., Trimizi, Syed Ahmed Ali., Su, Hailin., dan Du, Youwei. 2011. Molten Salt Growth and Magnetic Properties of

- Octahedral CoFe₂O₄ Crystals: Effects of Synthesis Conditions. *CrystEngComm*, 13(21): 6451-6455.
- Jiang, Dafu., Otitoju, Tunmise Ayode., Ouyang, Yuanyuan., Shoparwe, Noor Fazilani., Wang, Song., Zhang, Ailing., dan Li, Sanxi. 2021. A Review on Metal Ions Modified TiO₂ for Photocatalytic Degradation of Organic Pollutants. *Catalysts*, 11(9): 13669-1367.
- Jiang, Wan., Huangfu, Tongshuai., Zheng, Yiran., Bao, Liang., Liu, Yong., Xu, Gang., dan Han, Gaorong. 2019. Surfactant-Free Hydrothermal Synthesis of Hierarchical Flower-Like Bi₂WO₆ Mesosphere Nanostructures with Excellent Visible-Light Photocatalytic Activity. *CrystEngComm*, 21: 6293-6300.
- Jin, Rencheng., Hong, Liu., Yanshui, Guan., Junhao, Zhou., dan Guihua, Li. 2015. Molten Salt Synthesis of Flourine-Doped Mn₃O₄ Nanobelts as Anode Materials for Li-Ion Batteries. *CrystEngComm*, 17(40): 7717-7722.
- Kan, Yanmei., Jin, Xihai., Wang, Peiling., Li, Yongx., Bing, Cheng., dan Yan, Dongsheng. 2003. Anisotropic Grain Growth of Bi₄Ti₃O₁₂ in Molten Salt Fluxes. *Material Research Bulletin*, 38(4): 567-576.
- Ke, Xingfei., Jieming, Cao., Mingbo, Zheng., Yongping, Chen., Liu, Jinsong., dan Ji, Guangbin. 2007. Molten Salt Synthesis of Single Crystal Co₃O₄ Nanorods. *Material Letters*, 61(18): 3901-3903.
- Khalidi, Zahira., Comini, Elisabetta., Hartiti, Bouchaib., Moumen, Abderrahim., Arachchige, Hashita., Fadili, Sala., Thevenin, Philippe., dan Abderraifi, Kamal. 2017. Effect of Vanadium Doping on ZnO Sensing Properties Synthesized by Spray Pyrolysis. *Materials & Design*, 139: 56-64.
- Khokar, Anita., Mahesh, M. L.V., James, A. R., Goyal, Parveen K., dan Sreevinas, K. 2013. Sintering Characteristics and Electrica Properties of BaBi₄Ti₄O₁₅ Ferroelectric Ceramics. *Journal Alloys and Compounds*, 58: 150-159.
- Kikuchihara, Anna., Sakurai, Fumito., dan Kimura, Toshio. 2012. Preparation of Plate-Like NaNbO₃ Particles by Single-Step Molten Salt Synthesis. *Journal of The American Ceramic Society*, 95(5): 1-7.
- Kim, Chang Yeoul., Sekino, Tohru., dan Nihara, Koichi. 2003. Synthesis of Bismuth Sodium Titanate Nanosized Powders by Solution/Sol-Gel Process. *Journal of The American Ceramic*, 86(9): 1464-1467.
- Kim, Soo Ho., Park, Hoon., Jee, Seung Hyun., Ahn, Ho Sang., Kim, Dong-Joo., Choi, Ji Won., Yoon, Seok Jin., dan Yoon, Young Soo. 2009. Synthesis and Structural Properties of Lithium Titanium Oxide Powder as-Synthesized by Two Step Calcination Process. *Korean Journal of Chemical Engineering*, 26(2): 458-488.

- Kim, Tai Suk., Kim, Ki Woong., Jeon, Min Ku., Jung, Chang Hwa., dan Woo, Seong Ihl. 2007. Effect of Vanadium Content on Remanent Polarization in Bismuth Titanate Thin Films Prepared by Liquid Source Misted Chemical Deposition. *Applied Physical Letter*, 90(4): 042912-042915.
- Kimura, T., dan Yamagichu, T. 1983. Fused Salt Synthesis of $\text{Bi}_4\text{Ti}_3\text{O}_{12}$. *Ceramic International*, 9(1): 13-17.
- Kimura, T. 2011. Molten Salt Synthesis of Ceramic Powders. *Advances in Ceramics-Synthesis and Characterization, Processing and Specific Applications*. ISBN 978-954-307-505-1.
- Kocak, Tayfun., Wu, Langyuan., Wang, Jiang., Savaci, Umut., Turan, Servet., dan Zhang, Xiagong. 2021. The Effect of Vanadium Doping on The Cycling Performance of $\text{LiNi}_{0.5}\text{Mn}_{1.5}\text{O}_4$ Spinel Cathode for High Voltage Lithium-Ion Batteries. *Journal of Electroanalytical Chemistry*, 881(47): 114926-114963.
- Lazarevic, Z., Stojanovic, B., dan Varela, Jose,. 2005. Approach to Analyzing Synthesis, Structure and Properties of Bismuth Titanate Ceramics. *Science of Sintering*, 37(3): 199-216.
- Lazarevic, Z. Z., Bobic. J. D., Rocevic N. Z., Paunovic, Novica., dan Stojanovic, B. 2009. Study of Barium Bismuth Titanate Prepared by Mechanochemical Synthesis. *Science of Sintering*, 41(3): 329-335.
- Li, Jiangtian., dan Wu, Nianqiang. 2015. Semiconductor-Based Photocatalysts and Photoelectrochemical Cells for Solar Fuel Generation: A Review. *Catalyst Science Technology*, 5(3): 1360-1384.
- Li, Jiajiu., Huang, Rongxia., Peng, Congfei., Dai, Yejing., Xiong, Shunjin., Cai, Chunhui., dan Lin, Hua-Tay. 2020. Low Temperature Synthesis of Plate-Like $\text{Na}_{0.5}\text{Bi}_{0.5}\text{TiO}_3$ via Molten Salt Method. *Ceramic International*, 46(12): 19752-19757.
- Li, Lihong., Deng, Jinxia., Chen, Jun., Xing, Xianran. 2016. Topochemical Molten Salt Synthesis for Functional Perovskite Compounds. *Chemical Science*, 7(2): 855-865.
- Li, Zushu., Lee, Wiliam Edward., dan Zhang, Shaowei. 2007. Low-Temperature Synthesis of CaZrO_3 Powder from Molten Salts. *Journal of The American Ceramic Society*, 90(2): 364-368.
- Liu, Cheng., Liu, Xueyin., Hou, Zhaoning., Jia, Quanli., Cheng, Benjun., dan Zhang, Shaowei. 2020. Low-Temperature Molten Salt Synthesis and The Characterization between of Submincron-Sized $\text{Al}_8\text{B}_4\text{C}_7$ Powder. *Materials*, 13(1): 70-79.

- Liu, Xuanxuan, Xu, Lei., Huang, Yanlin., Qin, Chunaxiang., Qin, Lin., dan Seo, Hyo Jin. 2017. Improved Photochemical Properties of Aurivillius $\text{Bi}_5\text{Ti}_3\text{FeO}_{15}$ with Partial Substitution of Ti^{4+} with Fe^{3+} . *Ceramics International*, 43(5): 12372-12380.
- Liu, Yongbao., Zhu, Gangqiang., Gao, Jianzhi., Hojamberdeiv, Mirabbos., Zhu, Runliang., Wei, Xiumei., Guo, Quanmin., dan Liu, Peng. 2017. Enhanced Photocatalytic Activity of $\text{Bi}_4\text{Ti}_3\text{O}_{12}$ Nanosheet by Fe^{3+} Doping and The Addition of Au Nanoparticles: Photodegradation of Phenol and Bisphenol A. *Applied Catalysis B: Environmental*, 200: 72-82.
- Long, Zeqing., Li, Qiangang., Wei, Ting., Zhang, Gungming., dan R, Zhijun. 2020. Historical Development and Prospects of Photocatalysts for Pollutant Removal in Water. *Journal of Hazardous Materials*, 395: 122-599.
- Lou, Zhengsong., Minglong, He., Ruikun, Wang., Weiwei, Qin., Dejian, Zhao., dan Changel, Chen. 2014. Large-Scale Synthesis of Monodisper Magnesium Ferrite via an Environmentally Friendly Molten Salt Route. *Inorganic Chemistry*, 53(4): 2053-2057.
- Mao, Yuanbing., Park, Tae-Jin., Zhang, Fen., Zhou, Hongjun., dan Wong, Satnislaus S. 2007. Environmentally Friendly Methodologies of Nanostructure Synthesis. *Small*, 3(7): 1122-1139.
- Mao, Yuanbing., Tran, Thai., Guo, Xiao., Huang, Jian Y., Shih, C. Ken., Wang, Kang L., dan Chang, Jane P. 2009. Luminescence of Nanocrystalline Erbium-Doped Yttria. *Advance Functional Materials*, 19(5): 748-754.
- McGinty, John., Yazdanpanah, Nima., Price, Chris., Horst, Joop H., dan Sefcik, J. 2020. Chapter 1: Nucleation and Crystal Growth in Continous Crystallization. *The Handbook of Continuous Crystallization*. 1: 1-50.
- Moulson, A., dan Herbert, J. M. 1990. *Electroceramics Materials, Properties, Applications*. London: Chapman & Hall.
- Mujiono, Abdillah. 2001. *Agama Ramah Lingkungan Prespektif al-Qur'an*, Cetakan I. Jakarta: Paramadina.
- Murugesan, Sankaran., Huda, Muhammad N., Yan, Yanfa., Al-Jassim, Mowafak., dan Subramanian, Vaidyanathan. 2010. Band-Engineered Bismuth Titanate Pyrochlores for Visible Light Photocatalyst. *The Journal of Physical Chemistry*, 114(23): 10598-10605.
- Nagaveni, K., Hegde, M. S., dan Madras G., 2004. Structure and Photocatalytic Activity of $\text{Ti}_{1-x}\text{M}_x\text{O}_{2\pm\delta}$ ($\text{M} = \text{W}, \text{V}, \text{Ce}, \text{Zr}, \text{Fe}, \text{and Cu}$) Synthesized by Solution Combustion Method. *Journal of Physical Chemistry B*, 108: 20204-20212.

- Pawar, Milind., Sendogdular, Topcu Selda., dan Gouma, Perena. 2018. A Brief Overview of TiO₂ Photocatalyst for Organic Dye Remediation: Case Study of Reaction Mechanisms Involved in Ce-TiO₂ Photocatalyst System. *Journal of Nanomaterials*, 18(147): 1-13.
- Peng, Ruicha., Wu, Nian., Zheng, Yu., Huang, Yangbao., Luo, Yunbai., dan Yu, Ping. 2016. Large Scale Synthesis of Metal Ion-Doped Manganese Dioxide for Enhanced Electrochemical Performance. *ACS Applied Materials & Interfaces*, 8(13): 8474-8480.
- Peng, Sheng., McMahon, Jeffrey. M., Schatz, George. C., Gray, Stephen. K., dan Sun, Yugang. 2010. Reversing The Size-Dependence of Surface Plasmon Resonance. *Proceedings of The National Academy of Sciences*, 107(33): 14530-14534.
- Pleckova, Natalia V., dan Seddon, Kenneth R. 2008. Application of Ionic Liquids in The Chemical Industry. *Chemical Society Review*, 37(1):123-150.
- Pookmanee, Pusit., Uriwilast, Phunthanee., dan Phanichpant, Sukon. 2004. Hydrothermal Synthesis of Fine Bismuth Titanate Powders. *Ceramics International*, 30(70): 1913-1915.
- Porob, Digamber G., dan Maggard, Paul A. 2006. Synthesis of Textured Bi₅Ti₃FeO₁₅ and LaBi₄Ti₃FeO₁₅ Ferroelectric Layered Aurivillius Phases by Molten Salt Flux Methods. *Material Research Bulletin*, 41(8): 1513-1519.
- Qi, Wenzhi., Wang, Yaqiong., Wu, Jiyue., Hu, Zimeng., Jia, Chenglong., dan Zhang, Hongtao. 2019. Relaxor Ferroelectric and Photocatalytic Properties of BaBi₄Ti₄O₁₅. *Advances in Applied Ceramics*, 118(7): 418-424.
- Quthb, Sayyid. 2004. *Tafsir Fi Zhilalil Qur'an di Bawah Naungan Al-Qur'an Jilid IX*. Jakarta: Gema Insani Press.
- Rahmawati, F., Wulandari, R., Nofaris, E., dan Mudjijono. 2017. Optical Properties and Photocatalytic Activity of CdS-TiO₂/Graphite Composite. *Science and Engineering of Composite Materials*, 24(2): 1-8.
- Ramana, E. Venkata., Prasad, Nandiraju Venkata., Tobaldi, David Maria., Zavasnik, Janez., Singh, M., Hortiguela, Maria Jesus., Seabra, Maria., Prasad, Guduru., dan Valente, M. A. 2017. Effect of Samarium and Vanadium co-Doping on Structure, Ferroelectric and Photocatalytic Properties of Bismuth Titanate. *Royal Society of Chemistry*, 7(16): 9680-9692.
- Rao, Chintamani Nagesa Ramachandra. 1995. *Solid State Chemistry*. Singapore: World Scientific Publishing.

- Ravelli, Davide., Protte, Stefano., dan Albini, Angelo. 2015. Energy and Molecules from Photochemical/Photocatalytic Reaction: An Overview. *Molecules*, 20(1): 1527-1542.
- Roy, Poulo., Berger, Steffen., dan Patrik, Schuki. 2011. TiO₂ Nanotube: Synthesis and Applications. *Chemistry International Education*, 50(13): 2904-2939.
- Serpone, Nick., dan Emeline, Alexei V. 2002. Suggested Terms and Definitions in Photocataysis and Radiocatalysis. *International of Photoenergy*, 4(3): 92-131.
- Setiyawan, Muhammad Nur Kholis. 2005. *Al-Qur'an Kitab Sastra Terbesar*. Yogyakarta: eLS AQ.
- Sikalidis, Costas. 2011. *Advances in Ceramics Synthesis and Processing and Spesicific Application*. Rijeka: In Tech.
- Shihab, Muhammad Quraish. 2001. *Tafsir al-Misbah: Pesan, Kesan, dan Keserasian al-Qur'an*. Jakarta: Lentera Hati.
- Shihab, Muhammad Quraish. 2012. *Tafsir al-Misbah Volume 1*. Jakarta: Lentera Hati.
- Simoes, Alexandre Zirpoli., Stojanovic, B., Ramirez, Miguel Angel., Cavalheiro, Alberto Aldriano., Longo, Elson., dan Varela, Jose Arana. 2008. Lanthanum Doped Bi₄Ti₃O₁₂ Prepared by The Soft Chemical Method: Rietveld Analysis and Piezoelectric Properties. *Ceramic International*, 34(2): 257-261.
- Stanuch, Krzysztof. 2014. Influence if Vanadium Doping on Dielectric Properties of Barium Titanate Ceramics. *Materials Science*: 109-116.
- Sun, Hui., Yao, Tianshu., Xie, Xi., Lu, Yuxi., Wang, Yan., Xu, Zirou., Han, Jie., dan Chen, Xiaobing. 2019. Ni, Eu-Co Doping Effect on The Photocatalytic Activity and Magnetic Recyclability in Multifunctional Single-Phase Photocatalyst Bi₅FeTi₃O₁₅. *Journal of Colloid and Interface Science*, 534: 499-508.
- Sun, Qingbo., McBride, Bethany R., dan Liu, Yun. 2017: (N³⁻, M⁵⁺) Co-Doping Strategies for The Development of TiO₂-Based Visible Light Catalyst. *Research and Reviews in Electrochemistry*, 8(1): 106-115.
- Tang, Chao., Li, Xu., Tang, Yujing., Zeng, Jie., Xie, Jingyu., Xiong, Bifeng. 2019. Agglomeration Mechanism and Restraint Measures of SiO₂ Nanoparticles in Meta-Aramid Fibers Doping Modification via Molecular Dynamics Simulations. *Nanotechnology*, 31(16): 1-17.

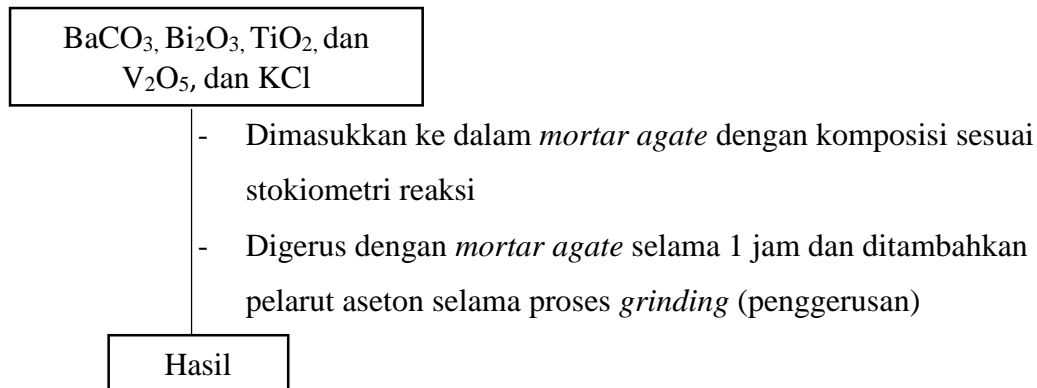
- Tang, Qing-Yuan., Kan, Yan-Mei., Li, Yao-Gang., Zhang, Guo-Jun., dan Wang, Pei-Ling. 2006. Effect of Vanadium Doping on Fabrication and Property of $\text{Bi}_4\text{Ti}_3\text{O}_{12}$ Ceramics. *Scripta Materialia*, 54(12): 2075-2080.
- Tang, Qing-Yuan., Kan, Yan-Mei., Li, Yao-Gang., dan Zhang, Guo-Jun. 2007., Nd/V Co-Doped $\text{Bi}_4\text{Ti}_3\text{O}_{12}$ Powder Prepared by Molten Salt Synthesis. *Journal of The American Ceramic Society* 90(10): 3353-3356.
- Tellier, Jouin., Boullay, Philippe., Manier, Miguel., dan Mercurio, Daniele. 2004. A Comparative Study of The Aurivillius Phase Ferroelectrics $\text{CaBi}_4\text{Ti}_4\text{O}_{15}$ and $\text{BaBi}_4\text{Ti}_4\text{O}_{15}$. *Journal of Solid State Chemistry*, 177(6): 1829-1837.
- Tian, Baozhu., dan Li, Chunzhong. 2009. Flame Sprayed V-Doped TiO_2 Nanoparticles with Enhanced Photocatalytic Activity under Visible light Light Irradiation. *Chemical Engineering Journal*, 151(1-3): 220-227.
- Tong, Hua., Ouyang, Shuxin., Bi, Yungpi., Umezawa, Naoto., Oshikiri, Mitsuke., dan Ye, Jinhua. 2012. Nano-Photocatalytic Materials: Possibilities and Challenge. *Advanced Materials*, 24(2): 229-251.
- Wang, Qian., Hisatomi, Takashi., Moriya, Yosuke., Maeda, Kasuhiko., dan Domen, Kazunari. 2013. Physicochemical Properties and Photocatalytic H_2 Evolution Activity of Rh-Doped $\text{La}_2\text{Ti}_2\text{O}_7$ Prepared by Molten Salt Synthesis. *Catalyst Science & Technology*, 44: 5371-5408.
- Wang, Tong., dan Xu, Tao. 2017. Effects of Vanadium Doping on Microstructures and Optical Properties of TiO_2 . *Ceramic International*, 43(1): 1558-1564.
- Wang, Yaqin., Zhang, Ruirui., Li, Jianbao., Li, Liangliang., dan Lin, Shiwei. 2014. First-Principle Study on Transition Metal-Doped Anatase TiO_2 . *Nanoscale Research Letters*, 9(1): 46-53.
- Wei, L., Liu, Y., Lu, Y., dan Wu, T. 2012. Morphology and Photoluminescence of $\text{Ba}_{0.5}\text{Sr}_{0.5}\text{MoO}_4$ Powders by A Molten Salt Method. *Journal of Nanomaterials*. 1-6.
- Wendari, Tio Putra., Arief, Syukri., Mufti, Nandang., Bass, Jacob., Blake, Graeme R., dan Zulhadjri. 2020. Ratio effect Salt Fluxes on Structure, Dielectric and Magnetic Properties of La, Mn Doped $\text{PbBi}_2\text{Nb}_2\text{O}_9$ Aurivillius Phase. *Ceramic International*, 46(10): 14822-14827.
- Wu, Guoling., Ping, Li., Xu, Dongbo., Luo, Bifu., Hong, Yuanzhi., Shi, Weidong., dan Liu, Chunbo. 2015. Hydrothermal Synthesis and Visible-Light-Driven Photocatalytic Degradation for Tetracycline of Mn-Doped SrTiO_3 Nanocubes. *Applied Surface Science*, 333: 39-47.
- Xue, Piojie., Wu, Heng., Lu, Yaou., dan Zhu, Xinhua. 2018. Recent Progress in Molten Salt Synthesis of Low-Dimensional Perovskite Oxide

- Nanostrucutures, Strucтурal Characterization, Properties, and Functional Applications: A Review. *Journal of Materials Science & Technology*, 34(6): 914-930.
- Yang, Yahui., Chen, Qiyuan., Yin, Zhoulan, dan Li, Jie. 2009. Study on The Photocatalytic Activity of $K_2La_2Ti_3O_{10}$ Doped with Vanadium (V). *Journal of Alloys and Compounds*, 488(1): 364-369.
- Yao, Wei., Feng., Wang, Hong., Xu, Xiao H., Shang, Shu X., Hou, Yun., Zhang, Yin., dan Wang, Min. 2003. Synthesis and Photocatalytic Property of Bismuth Titanate $Bi_4Ti_3O_{12}$. *Materials Letters*, 57(13): 1899-1902.
- Zhang, Kena., Gao, Feng., Xu, Jie., Fu, Maosen., Wang, Li., Zhang, Qingqing., dan Ruan, Yong. 2017. Synthesis of $Ba_{0.6}Sr_{0.4}TiO_3$ Platelet Crsytal Based on $Bi_4Ti_3O_{12}$ Precursor by Topochemical Microcrystal Conversion. *Journal of Alloys and Compounds*, 726: 955-960.
- Zhao, Zhihao., Li, Xiaolei., Ji, Huiming., dan Deng, Minyang. 2014. Formation Mechanism of Plate-Like $Bi_4Ti_3O_{12}$ Particles in Molten Salt Fluxes. *Integrated Ferroelectrics: An International Journal*, 154: 154-158.
- Zhao, Yue., Li, Rengui., dan Mu, Linchao., Li, Can. 2017. The Significance of Crystal Morphology Controlling in Semiconductor-Based Photocatalysis: A Case Study on $BiVO_4$ Photocatalyst. *Crystal Growth & Design*, 17(6): 2923-2928.
- Zhou, Hongjun., Mao, Yuangbin., dan Wong, Stanislaus S. 2007. Probing Structure-Parameter Correlation in The Molten Salt Synthesis of $BaZrO_3$ Perovskite Submicrometer-Sized Particles. *Chemistry of Materials*, 19(22): 5238-5249.
- Zhou, Yang., Chen, Jie., Bakr, Osman Mohammed., dan Sun, Hong-Tao. 2018. Metal-Doped Lead Halide Perovskite: Synthesis, Properties, and Optoelectronic Application. *Chemistry of Materials*, 30(19): 6580-6613.
- Zhu, H. X., Wang, X. H., Zhou, D. F., Jiang, H., dan Liu, X. M. 2020. First-Principles Study on Electronic, Magnetic Properties and Optical Absoprtion of Vanadium Doped Rutile TiO_2 . *Physics Letters A*, 384(26): 126637-126643.
- Zuniga, Jose P., Abdou, Maya., Gupta, Santosh Kumar., dan Mao, Yuanbing. 2018. Molten-Salt Synthesis of Complex Metal Oxides Nanopartices. *Journal of Visualized Experiments*, 140: 1-7.

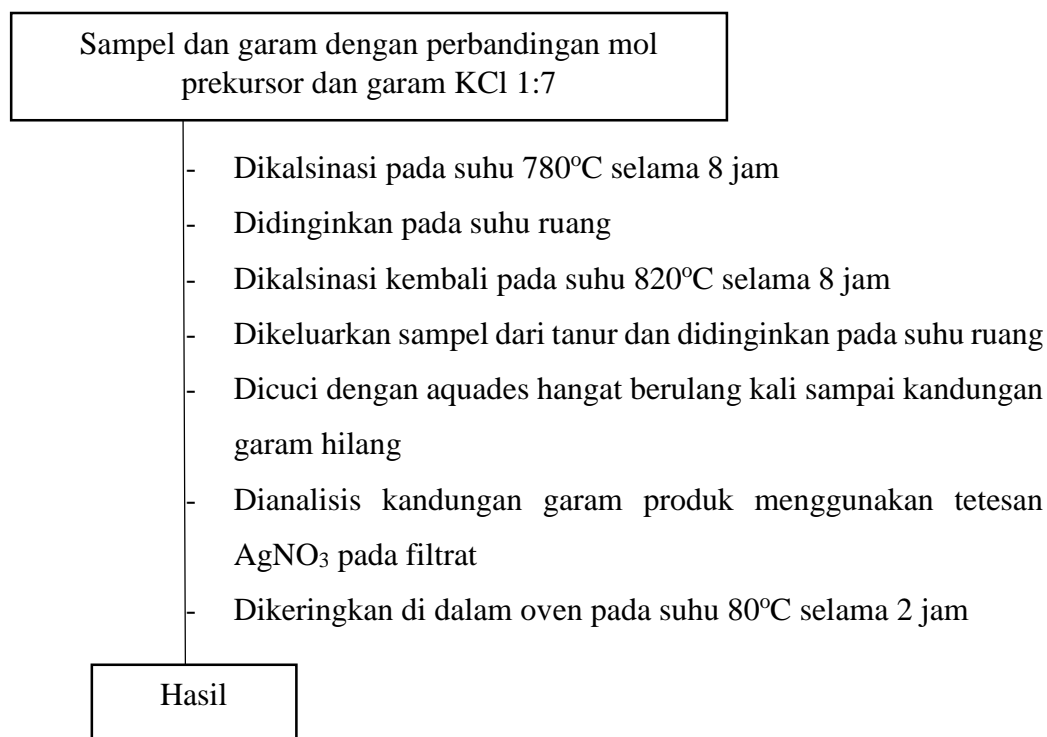
LAMPIRAN

Lampiran 1. Diagram Alir

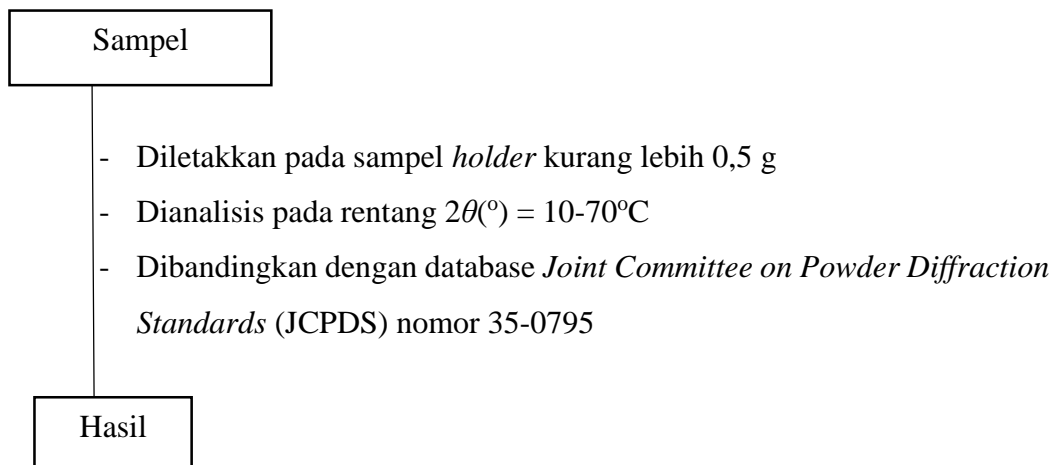
L.1.1 Preparasi Bahan dan Pemanasan Awal



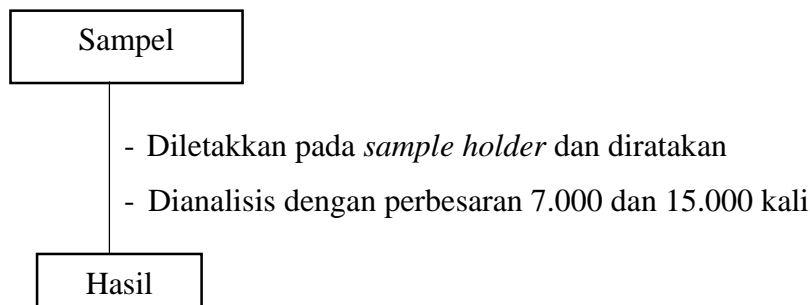
L.1.2 Sintesis BaBi₄Ti_{4-x}V_xO₁₅ ($x = 0; 0,05; 0,1; 0,15$) dengan Metode Lelehan Garam



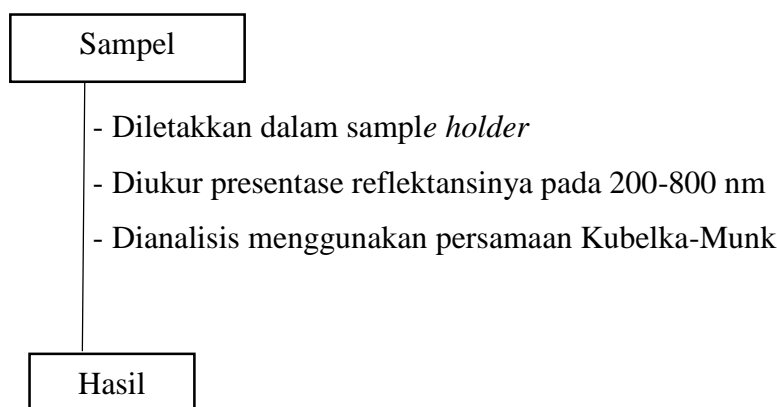
L.1.3 Karakterisasi dan Analisis dengan Teknik XRD

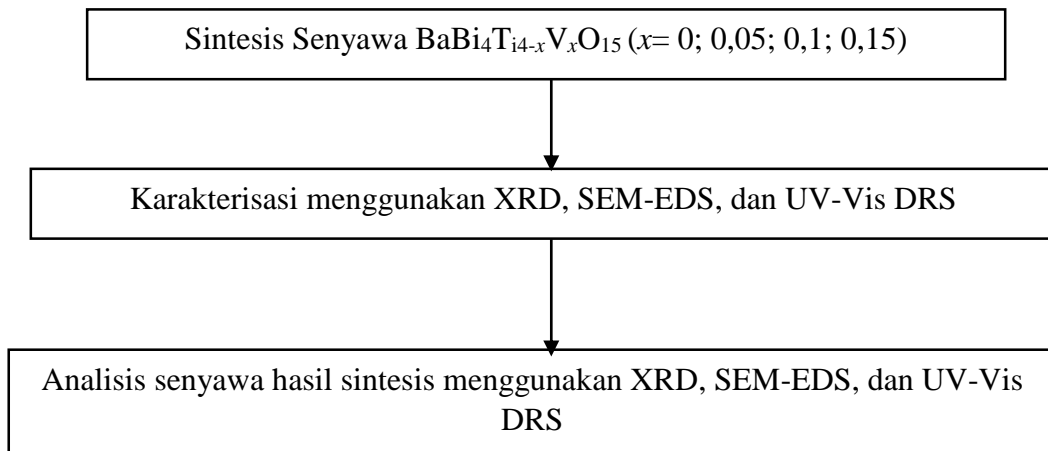


L.1.4 Karakterisasi dan Analisis dengan Teknik SEM-EDS



L.1.5 Karakterisasi dan Analisis dengan Teknik UV-Vis DRS





Lampiran 2. Perhitungan Preparasi Bahan

Pada penelitian ini akan disintetis $\text{BaBi}_4\text{Ti}_{4-x}\text{V}_x\text{O}_{15}$ ($x= 0; 0,05; 0,1; 0,15$) menggunakan lelehan garam KCl dengan target massa produk yaitu 3 gram dan perbandingan mol prekursor $\text{BaBi}_4\text{Ti}_{4-x}\text{V}_x\text{O}_{15}:\text{KCl}$ adalah 1:7 sehingga perhitungan kebutuhan prekursor diuraikan dibawah ini.

Diketahui:

| | |
|--|---------------------|
| Mr BaCO_3 | = 197, 336 gr/mol |
| Mr Bi_2O_3 | = 465,96 gr/mol |
| Mr TiO_2 | = 79,876 gr/mol |
| Mr V_2O_5 | = 181,88 gr/mol |
| Mr KCl | = 74,5 gr/mol |
| Ar Ba | = 137,327 gr/mol |
| Ar Ti | = 47,867 gr/mol |
| Ar Bi | = 208,9804 gr/mol |
| Ar V | = 51 gr/mol |
| Mr $\text{BaBi}_4\text{Ti}_4\text{O}_{15}$ | = 1404,7166 gr/mol |
| Mr $\text{BaBi}_4\text{Ti}_{3,95}\text{V}_{0,05}\text{O}_{15}$ | = 1404,8733 gr/mol |
| Mr $\text{BaBi}_4\text{Ti}_{3,90}\text{V}_{0,1}\text{O}_{15}$ | = 1405,0299 gr/mol |
| Mr $\text{BaBi}_4\text{Ti}_{3,85}\text{V}_{0,15}\text{O}_{15}$ | = 1405,18655 gr/mol |
| Mr $\text{BaBi}_4\text{Ti}_{3,80}\text{V}_{0,20}\text{O}_{15}$ | = 1405,3432 gr/mol |

1. Konsentrasi V = 0



$$\begin{aligned} n \text{ BaBi}_4\text{Ti}_4\text{O}_{15} &= \frac{\text{Massa}}{\text{Mr}} \\ &= \frac{3\text{gr}}{1404,7166 \text{ gr/mol}} \\ &= 0,0021357 \text{ mol} \end{aligned}$$

Massa yang diperlukan :

$$\begin{aligned} - \text{BaCO}_3 &= \text{Mr} \times n \text{ BaCO}_3 \\ &= 197,336 \text{ g/mol} \times 0,0021357 \text{ mol} \\ &= 0,4215 \text{ g} \end{aligned}$$

$$\begin{aligned}
 - \text{Bi}_2\text{O}_3 &= \text{Mr} \times n \text{ Bi}_2\text{O}_3 \\
 &= 465,96 \text{ g/mol} \times (2 \times 0,0021357 \text{ mol}) \\
 &= 1,9904 \text{ g} \\
 - \text{TiO}_2 &= \text{Mr} \times n \text{ TiO}_2 \\
 &= 79,867 \text{ g/mol} \times (4 \times 0,0021357 \text{ mol}) \\
 &= 0,6824 \text{ g} \\
 - \text{KCl} &= 7 \times \text{Mr} \times n \text{ BaBi}_4\text{Ti}_4\text{O}_{15} \\
 &= 7 \times 74,5 \text{ g/mol} \times 0,0021357 \text{ mol} \\
 &= 1,1139 \text{ g}
 \end{aligned}$$

2. Konsentrasi V = 0,05



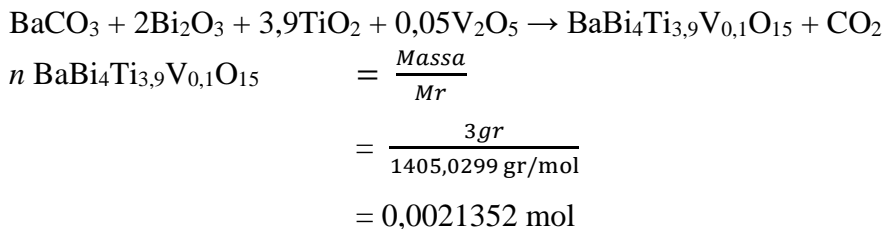
$$\begin{aligned}
 n \text{ BaBi}_4\text{Ti}_{3,95}\text{V}_{0,05}\text{O}_{15} &= \frac{\text{Massa}}{\text{Mr}} \\
 &= \frac{3gr}{1404,8733 \text{ gr/mol}} \\
 &= 0,0021354 \text{ mol}
 \end{aligned}$$

Massa yang diperlukan :

$$\begin{aligned}
 - \text{BaCO}_3 &= \text{Mr} \times n \text{ BaCO}_3 \\
 &= 197,336 \text{ g/mol} \times 0,0021354 \text{ mol} \\
 &= 0,4214 \text{ g} \\
 - \text{Bi}_2\text{O}_3 &= \text{Mr} \times n \text{ Bi}_2\text{O}_3 \\
 &= 465,96 \text{ g/mol} \times (2 \times 0,0021354) \text{ mol} \\
 &= 1,9902 \text{ g} \\
 - \text{TiO}_2 &= \text{Mr} \times n \text{ TiO}_2 \\
 &= 79,867 \text{ g/mol} \times (3,95 \times 0,0021354 \text{ mol}) \\
 &= 0,6738 \text{ g} \\
 - \text{V}_2\text{O}_5 &= \text{Mr} \times n \text{ V}_2\text{O}_5 \\
 &= 181,88 \text{ g/mol} \times (0,025 \times 0,0021354 \text{ mol}) \\
 &= 0,0097 \text{ g}
 \end{aligned}$$

$$\begin{aligned}
 - \text{KCl} &= 7 \times \text{Mr} \times n \text{ BaBi}_4\text{Ti}_4\text{O}_{15} \\
 &= 7 \times 74,5 \text{ g/mol} \times 0,001354 \text{ mol} \\
 &= 1,1138
 \end{aligned}$$

3. Konsentrasi V = 0,1



Massa yang diperlukan :

$$\begin{aligned}
 - \text{BaCO}_3 &= \text{Mr} \times n \text{ BaCO}_3 \\
 &= 193,336 \text{ g/mol} \times 0,0021352 \text{ mol} \\
 &= 0,4130 \text{ g} \\
 - \text{Bi}_2\text{O}_3 &= \text{Mr} \times n \text{ Bi}_2\text{O}_3 \\
 &= 465,96 \text{ g/mol} \times (2 \times 0,0021352 \text{ mol}) \\
 &= 1,9898 \text{ g} \\
 - \text{TiO}_2 &= \text{Mr} \times n \text{ TiO}_2 \\
 &= 79,867 \text{ g/mol} \times (3,9 \times 0,0021352 \text{ mol}) \\
 &= 0,6651 \text{ g} \\
 - \text{V}_2\text{O}_5 &= \text{Mr} \times n \text{ V}_2\text{O}_5 \\
 &= 181,88 \text{ g/mol} \times (0,05 \times 0,0021352 \text{ mol}) \\
 &= 0,0195 \text{ g} \\
 - \text{KCl} &= 7 \times \text{Mr} \times n \text{ BaBi}_4\text{Ti}_4\text{O}_{15} \\
 &= 7 \times 74,5 \text{ g/mol} \times 0,0021352 \text{ mol} \\
 &= 1,1137 \text{ g}
 \end{aligned}$$

4. Konsentrasi V = 0,15



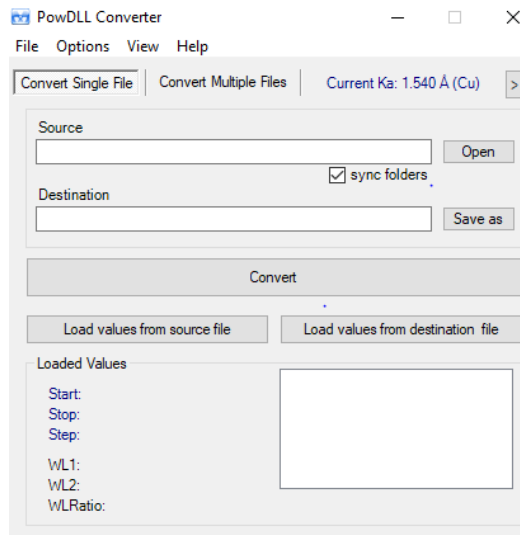
$$\begin{aligned}
 n \text{ BaBi}_4\text{Ti}_{3,85}\text{V}_{0,15}\text{O}_{15} &= \frac{\text{Massa}}{\text{Mr}} \\
 &= \frac{3gr}{1405,18655 \text{ gr/mol}} \\
 &= 0,0021349 \text{ mol}
 \end{aligned}$$

Massa yang diperlukan :

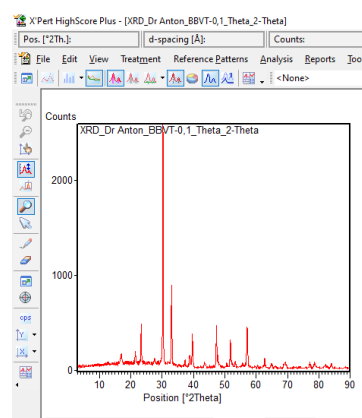
$$\begin{aligned}
 - \text{BaCO}_3 &= \text{Mr} \times n \text{ BaCO}_3 \\
 &= 193,336 \text{ g/mol} \times 0,0021349 \text{ mol} \\
 &= 0,4128 \text{ g} \\
 - \text{Bi}_2\text{O}_3 &= \text{Mr} \times n \text{ Bi}_2\text{O}_3 \\
 &= 465,96 \text{ g/mol} \times (2 \times 0,0021349 \text{ mol}) \\
 &= 1,9897 \text{ g} \\
 - \text{TiO}_2 &= \text{Mr} \times n \text{ TiO}_2 \\
 &= 79,867 \text{ g/mol} \times (3,85 \times 0,0021349 \text{ mol}) \\
 &= 0,6565 \text{ g} \\
 - \text{V}_2\text{O}_5 &= \text{Mr} \times n \text{ V}_2\text{O}_5 \\
 &= 181,88 \text{ g/mol} \times (0,075 \times 0,0021349 \text{ mol}) \\
 &= 0,0291 \text{ g} \\
 - \text{KCl} &= 7 \times \text{Mr} \times n \text{ BaBi}_4\text{Ti}_{3,85}\text{V}_{0,15}\text{O}_{15} \\
 &= 7 \times 74,5 \text{ g/mol} \times 0,0021349 \text{ mol} \\
 &= 1,11
 \end{aligned}$$

Lampiran 4. Tahapan Analisis Data Standar dan Pengotor Senyawa BBT Menggunakan Perangkat *X'pert HighScore* dan *OriginPro 2018*

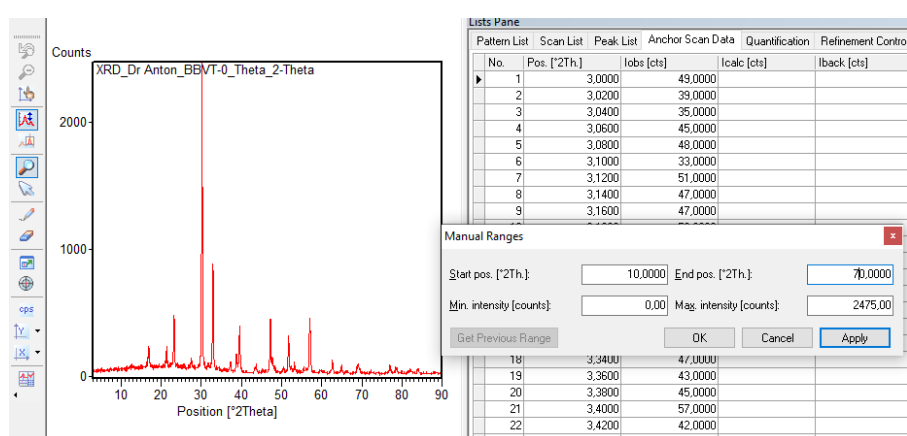
1. Buka aplikasi *PowDLL Converter* untuk mengonversi eksistensi data output dari Ragaku ASC (*.asc) ke XRDMML (*.xrdml)



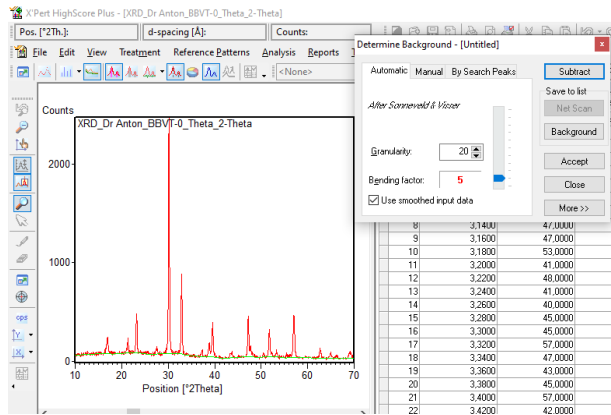
2. Drop file XRDMML (*.xrdml) ke perangkat *X'pert HighScore*



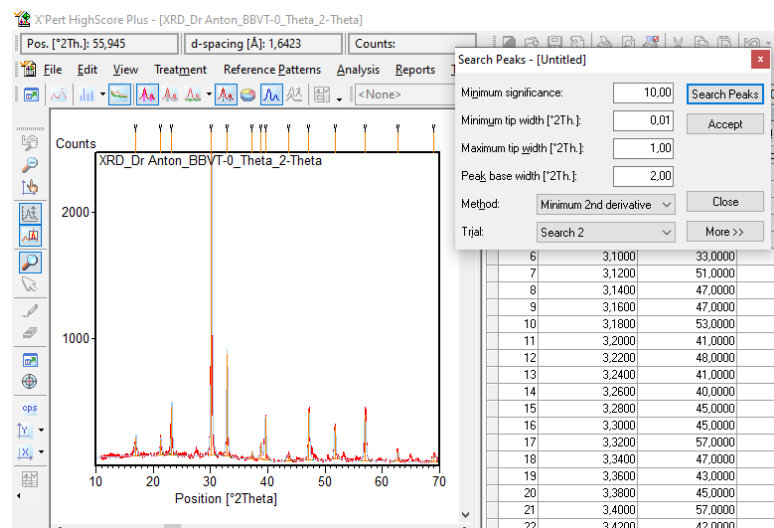
3. Klik kanan → Set Manual Range



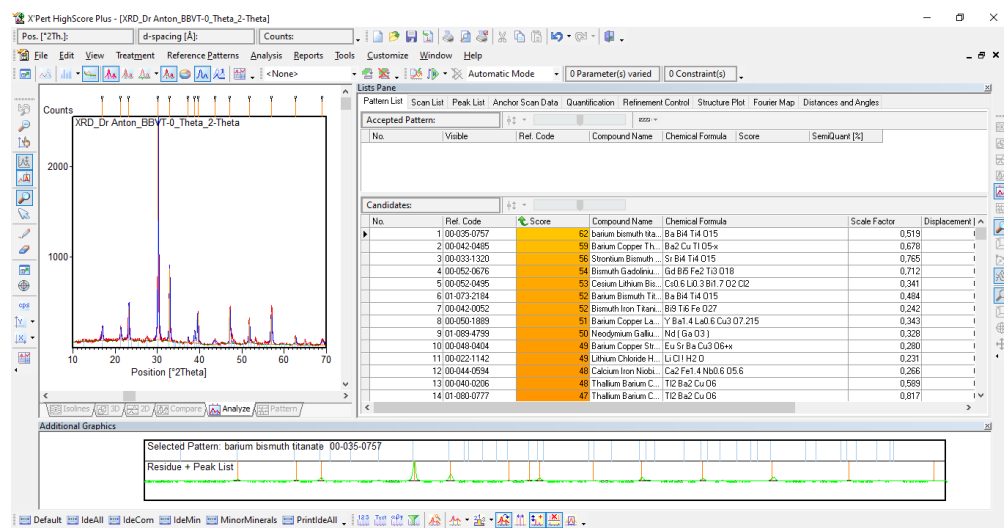
4. Klik kanan → *Determine Background* → *Accept*

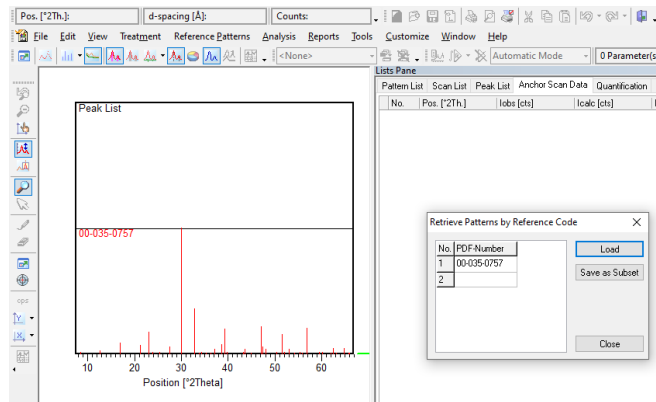


5. Klik kanan → *Search Peaks* → *Accept*

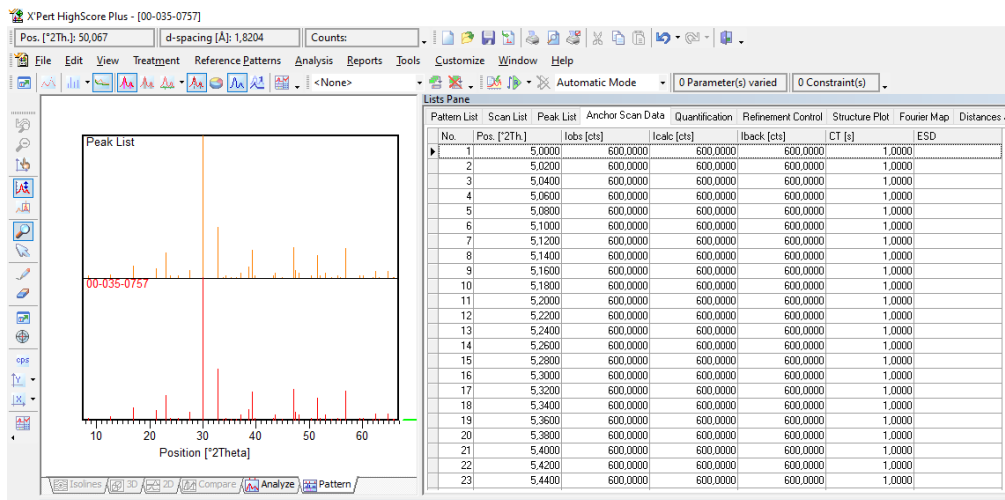


6. Klik kanan → *Search Match* → *Restriction* → *Edit Restriction Set* → *Periodic Table* → *Search* (untuk mencari data standar JCPDS yang sesuai dengan sampel)





8. Klik Pattern List → Simulate Scan from Pattern → Anchor Scan Data



9. Copy ke Microsoft Office Excel

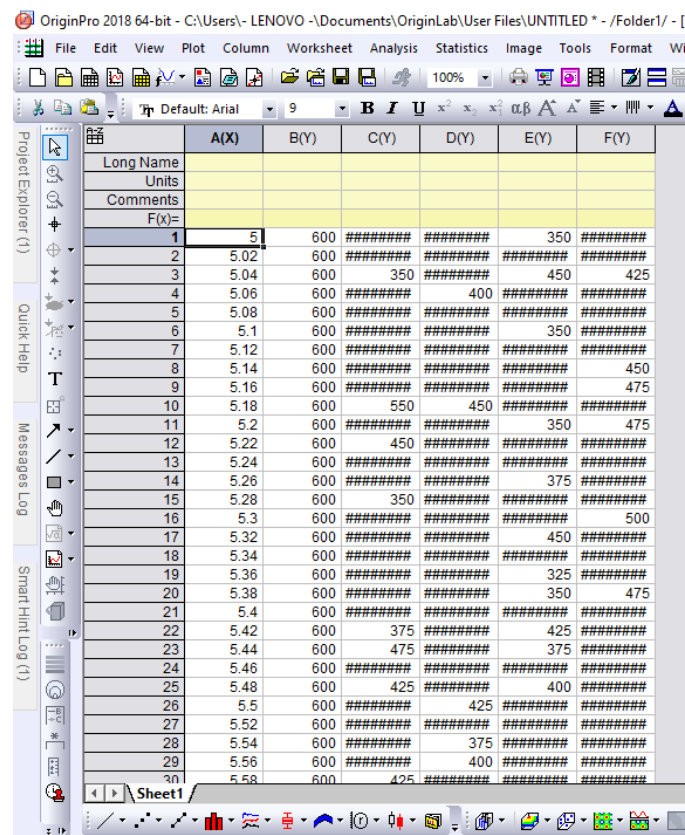
Microsoft Excel screenshot showing the copied data pasted into a new sheet:

| No. | Pos. [°2Th] | Iobs [cts] | Icalc [cts] | Iback [cts] | CT [s] | ESD |
|-----|-------------|------------|-------------|-------------|--------|-----|
| 1 | 5 | 600 | 600 | 600 | 1 | |
| 2 | 5.02 | 600 | 600 | 600 | 1 | |
| 3 | 5.04 | 600 | 600 | 600 | 1 | |
| 4 | 5.06 | 600 | 600 | 600 | 1 | |
| 5 | 5.08 | 600 | 600 | 600 | 1 | |
| 6 | 5.12 | 600 | 600 | 600 | 1 | |
| 7 | 5.14 | 600 | 600 | 600 | 1 | |
| 8 | 5.16 | 600 | 600 | 600 | 1 | |
| 9 | 5.18 | 600 | 600 | 600 | 1 | |
| 10 | 5.22 | 600 | 600 | 600 | 1 | |
| 11 | 5.24 | 600 | 600 | 600 | 1 | |
| 12 | 5.26 | 600 | 600 | 600 | 1 | |
| 13 | 5.28 | 600 | 600 | 600 | 1 | |
| 14 | 5.32 | 600 | 600 | 600 | 1 | |
| 15 | 5.34 | 600 | 600 | 600 | 1 | |
| 16 | 5.36 | 600 | 600 | 600 | 1 | |
| 17 | 5.38 | 600 | 600 | 600 | 1 | |
| 18 | 5.42 | 600 | 600 | 600 | 1 | |
| 19 | 5.44 | 600 | 600 | 600 | 1 | |

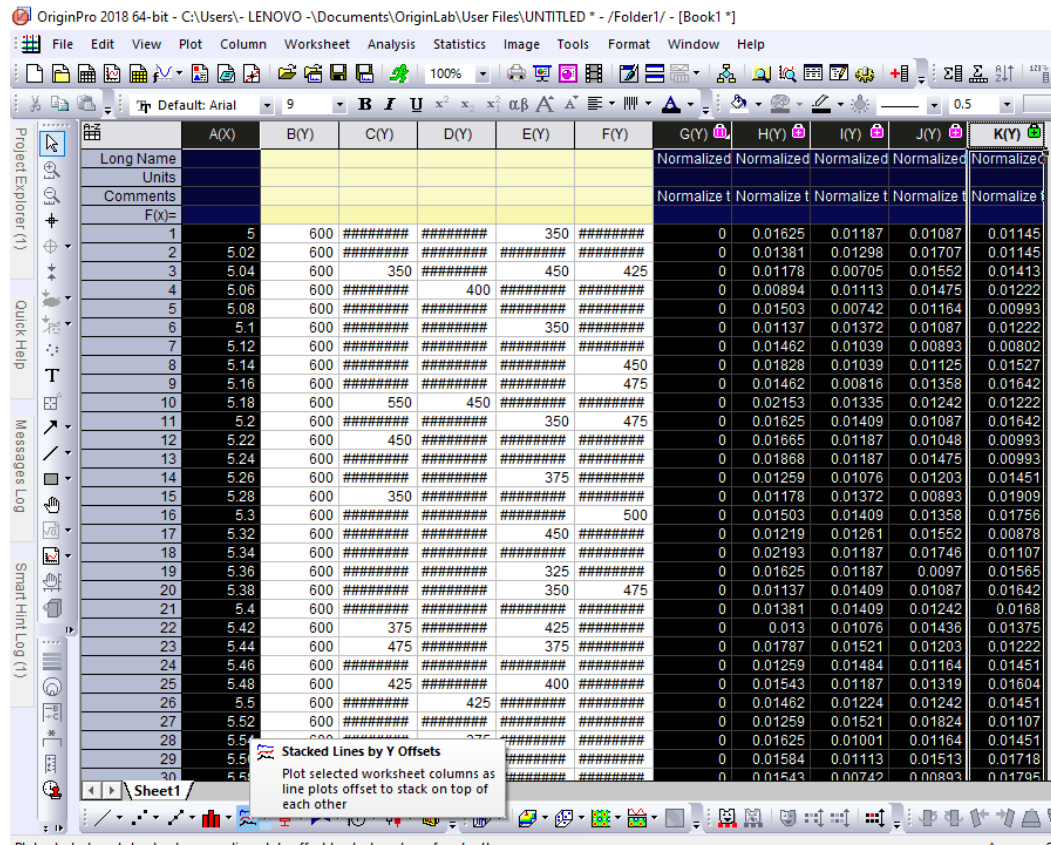
10. Masukkan data *I_{calc}* [cts] dari standar dan *Intensity* (cps) dari masing-masing sampel BaBi₄Ti_{4-x}V_xO₁₅ ($x= 0; 0,05; 0,1; 0,15$).

| | A | B | C | D | E | F | G |
|----|------|-----|----------|----------|----------|----------|---|
| 1 | x | std | 0 | 0,05 | 0,1 | 0,15 | |
| 2 | 5 | 600 | 441,6667 | 416,6667 | 350 | 366,6667 | |
| 3 | 5,02 | 600 | 391,6667 | 441,6667 | 483,3333 | 366,6667 | |
| 4 | 5,04 | 600 | 350 | 308,3333 | 450 | 425 | |
| 5 | 5,06 | 600 | 291,6667 | 400 | 433,3333 | 383,3333 | |
| 6 | 5,08 | 600 | 416,6667 | 316,6667 | 366,6667 | 333,3333 | |
| 7 | 5,1 | 600 | 341,6667 | 458,3333 | 350 | 383,3333 | |
| 8 | 5,12 | 600 | 408,3333 | 383,3333 | 308,3333 | 291,6667 | |
| 9 | 5,14 | 600 | 483,3333 | 383,3333 | 358,3333 | 450 | |
| 10 | 5,16 | 600 | 408,3333 | 333,3333 | 408,3333 | 475 | |
| 11 | 5,18 | 600 | 550 | 450 | 383,3333 | 383,3333 | |
| 12 | 5,2 | 600 | 441,6667 | 466,6667 | 350 | 475 | |
| 13 | 5,22 | 600 | 450 | 416,6667 | 341,6667 | 333,3333 | |
| 14 | 5,24 | 600 | 491,6667 | 416,6667 | 433,3333 | 333,3333 | |
| 15 | 5,26 | 600 | 366,6667 | 391,6667 | 375 | 433,3333 | |
| 16 | 5,28 | 600 | 350 | 458,3333 | 308,3333 | 533,3333 | |
| 17 | 5,3 | 600 | 416,6667 | 466,6667 | 408,3333 | 500 | |
| 18 | 5,32 | 600 | 358,3333 | 433,3333 | 450 | 308,3333 | |
| 19 | 5,34 | 600 | 558,3333 | 416,6667 | 491,6667 | 358,3333 | |
| 20 | 5,36 | 600 | 441,6667 | 416,6667 | 325 | 458,3333 | |
| 21 | 5,38 | 600 | 341,6667 | 466,6667 | 350 | 475 | |
| 22 | 5,4 | 600 | 291,6667 | 466,6667 | 303,3333 | 403,3333 | |

11. Copy paste data excel ke perangkat lunak *OriginPro 2018*



12. Klik *Normalize* → *Stacked lines by Y Offsets*



13. Atur format difraktogram seperti format di bawah ini:

a. *Units* : (mm)

Width : 85

Height : 85

b. *X axis*

Scale (Horizontal) = from (10); to (70)

(Vertikal) = from (-0,15); to (5)

Line and Ticks = *Bottom* → *Thickness* : 0,3

Length : 3

Style : Out

Top → *Thickness* : 0,3

Length : 3

Style : None

Left & Right (sama seperti "Top")

c. Ukuran *Font* = 10

d. Beri nama pada masing-masing sampe

14. *Copy Page* ke Microsoft Office Word untuk memudahkan dalam menentukan puncak-puncak pengotor dan pergeseran puncak difraksi. Setelah ditemukan puncak-puncak pengotor, kemudian cari kemungkinan senyawa pengotor yang terbentuk di perangkat lunak *X'Pert HighScore*.

15. Kemudian, diolah kembali di perangkat lunak *OriginPro 2018*.

Lampiran 7. Tahapan Analisis Data Energi Celah Pita BBT Menggunakan Perangkat *OriginPro 2018*

1. Dari hasil karakterisasi menggunakan UV-Vis DRS didapatkan grafik hubungan % reflektansi dengan panjang gelombang yang ditampilkan pada Gambar L.7. Kemudian dilakukan *Stacked lines by Y Offsets* di perangkat lunak *OriginPro 2018* untuk menggabungkan semua spektra sampel dalam satu grafik.
2. Kemudian data output yang diperoleh dianalisis dengan Persamaan Kubelka-Munk (Persamaan 3.1) di Microsoft Office Excel.
3. Kemudian, diolah menjadi grafik hubungan $F(R)hv^{1/2}$ di sumbu x dengan energi celah pita (hv) di sumbu y menggunakan perangkat lunak *OriginPro 2018*. Energi celah pita ditentukan dengan menarik garis lurus pada kurva yang menurun hingga $y=0$ pada semua sampel.
4. Setelah itu, dilakukan *Stacked lines by Y Offsets* untuk menggabungkan semua spektra dalam satu grafik.